



# FIPS 203 (borrador)

---

Publicación de estándares federales de procesamiento de información

Basado en módulo de celosía

Encapsulación de claves

Estándar del mecanismo

Categoría: Seguridad Informática

Subcategoría: Criptografía

---

Laboratorio de Tecnología de la Información

Instituto Nacional de Estándares y Tecnología

Gaithersburg, MD 20899-8900

Esta publicación está disponible de forma gratuita en:

<https://doi.org/10.6028/NIST.FIPS.203.ipd>

Publicado el 24 de agosto de 2023



Departamento de Comercio de EE.

UU. Gina M. Raimondo, Secretaria

Instituto Nacional de Estándares y Tecnología Laurie E.

Locascio, directora del NIST y subsecretaria de Comercio de Estándares y Tecnología

19

## Prefacio

20

La Serie de Publicaciones Federales de Estándares de Procesamiento de Información (FIPS) del Instituto Nacional de

21

Estándares y Tecnología es la serie oficial de publicaciones relacionadas con estándares y pautas desarrolladas bajo 15

22

USC 278g-3 y emitida por el Secretario de Comercio bajo 40 USC 11331.

23

Los comentarios relacionados con esta publicación del Estándar Federal de Procesamiento de Información son bienvenidos

24

y deben enviarse utilizando la información de contacto en la cláusula "Consultas y comentarios" de la sección de anuncios.

25

26

James A. St Pierre, director interino del  
Laboratorio de Tecnología de la Información

27

## Abstracto

28 Un mecanismo de encapsulación de claves (o KEM) es un conjunto de algoritmos que, bajo ciertas condiciones,  
29 pueden ser utilizados por dos partes para establecer una clave secreta compartida a través de un canal  
30 público. Una clave secreta compartida que se establece de forma segura mediante un KEM se puede utilizar  
31 con algoritmos criptográficos de clave simétrica para realizar tareas básicas en comunicaciones seguras,  
32 como cifrado y autenticación.

33 Este estándar especifica un mecanismo de encapsulación de claves llamado ML-KEM. La seguridad de  
34 ML-KEM está relacionada con la dificultad computacional del llamado Módulo de Aprendizaje con Errores.  
35 problema. En la actualidad, se cree que ML-KEM es seguro incluso contra adversarios que poseen una  
36 computadora cuántica.

37 Este estándar especifica tres conjuntos de parámetros para ML-KEM. En orden de mayor seguridad (y menor  
38 rendimiento), estos conjuntos de parámetros son ML-KEM-512, ML-KEM-768 y ML-KEM-1024.

39

40 Palabras clave: seguridad informática; criptografía; cifrado; Procesamiento de información federal

41 Normas; criptografía basada en celosía; encapsulación de claves; poscuántico; criptografía de clave pública

## Publicación 203 de normas federales de procesamiento de información

Publicado: 24 de agosto de 2023

anunciando el

### Encapsulación de claves basada en módulos Estándar del mecanismo

Las publicaciones de estándares federales de procesamiento de información (FIPS) son emitidas por el Instituto Nacional de Estándares y Tecnología (NIST) según 15 USC 278g-3 y por el Secretario de Comercio según 40 USC 11331.

1. Nombre de la Norma. Estándar de mecanismo de encapsulación de claves basado en celosía de módulo (ML-KEM) (FIPS PUB 203).

2. Categoría de Norma. La seguridad informática. Subcategoría. Criptografía.

3. Explicación. Este estándar especifica un conjunto de algoritmos para aplicaciones que requieren una clave criptográfica secreta compartida por dos partes que solo pueden comunicarse a través de un canal público. Una clave criptográfica (o simplemente "clave") se representa en una computadora como una cadena de bits. Una clave secreta compartida la calculan conjuntamente dos partes (por ejemplo, la Parte A y la Parte B) utilizando un conjunto de reglas y parámetros. Bajo ciertas condiciones, estas reglas y parámetros garantizan que ambas partes producirán la misma clave y que esta clave compartida sea secreta para los adversarios. Una clave secreta compartida de este tipo se puede utilizar con algoritmos criptográficos de clave simétrica (especificados en otros estándares del NIST) para realizar tareas, como el cifrado y la autenticación de información digital.

Si bien existen muchos métodos para establecer una clave secreta compartida, el método particular descrito en esta especificación es un mecanismo de encapsulación de claves (KEM). En un KEM, el cálculo de la clave secreta compartida comienza cuando la Parte A genera una clave de decapsulación y una clave de encapsulación. La parte A mantiene privada la clave de decapsulación y pone la clave de encapsulación a disposición de la parte B. La parte B luego usa la clave de encapsulación de la parte A para generar una copia de una clave secreta compartida junto con un texto cifrado asociado. Luego, la parte B envía el texto cifrado a la parte A a través del mismo canal. Finalmente, la Parte A utiliza el texto cifrado de la Parte B junto con la clave de decapsulación privada de la Parte A para calcular otra copia de la clave secreta compartida.

La seguridad del KEM particular especificado aquí está relacionada con la dificultad computacional de resolver ciertos sistemas de ecuaciones lineales ruidosas, específicamente el llamado problema de aprendizaje de módulos con errores (MLWE). Actualmente, se cree que este método particular de establecer una clave secreta compartida es seguro incluso contra adversarios que posean una computadora cuántica. En el futuro, es posible que se especifiquen y aprueben KEM adicionales en publicaciones FIPS o en publicaciones especiales del NIST.

4. Autoridad Aprobatoria. Secretario de Comercio.

5. Agencia de Mantenimiento. Departamento de Comercio, Instituto Nacional de Estándares y Tecnología, Laboratorio de Tecnologías de la Información (ITL).

- 79 6. Aplicabilidad. Los Estándares Federales de Procesamiento de Información se aplican a los sistemas de  
80 información utilizados u operados por agencias federales o por un contratista de una agencia u otra organización  
81 en nombre de una agencia. No se aplican a los sistemas de seguridad nacional según se definen en 44 USC 3552.
- 82 Este estándar debe implementarse siempre que se requiera el establecimiento de una clave secreta compartida  
83 para aplicaciones federales, incluido el uso de dicha clave con algoritmos criptográficos de clave simétrica, de  
84 acuerdo con la Oficina de Administración y Presupuesto aplicable y las políticas de la agencia. Las agencias  
85 federales también pueden utilizar métodos alternativos que el NIST haya indicado que son apropiados para  
86 este propósito.
- 87 La adopción y el uso de esta norma están disponibles para organizaciones privadas y comerciales.
- 88 7. Implementaciones. Se puede implementar un mecanismo de encapsulación de claves en software, firmware,  
89 hardware o cualquier combinación de los mismos. Una implementación conforme puede reemplazar la  
90 secuencia dada de pasos en los algoritmos de nivel superior de ML-KEM (es decir, [ML-KEM.KeyGen](#), [ML-KEM.Encaps](#) y [ML-KEM.Decaps](#)) con cualquier proceso equivalente. En otras palabras, se permiten diferentes  
91 procedimientos que produzcan la salida correcta para cada entrada. En particular, no se requiere que las  
92 implementaciones conformes utilicen las mismas subrutinas (de los algoritmos principales antes mencionados)  
93 que se utilizan en esta especificación.
- 94 NIST desarrollará un programa de validación para probar la conformidad de las implementaciones con los algoritmos  
95 de este estándar. La información sobre los programas de validación está disponible en [https://csrc.nist.gov/projects/](https://csrc.nist.gov/projects/cmv)  
96 [cmvp](#). Los valores de ejemplo para algoritmos criptográficos están disponibles en [https://csrc.nist.gov/projects/](https://csrc.nist.gov/projects/cryptographic-standards-and-guidelines/example-values)  
97 [cryptographic-standards-and-guidelines/example-values](#).
- 98
- 99 8. Otras Funciones de Seguridad Aprobadas. Las implementaciones que cumplan con este estándar deberán  
100 emplear algoritmos criptográficos que hayan sido aprobados para proteger la información confidencial del  
101 gobierno federal . Los algoritmos y técnicas criptográficos aprobados incluyen aquellos que son:
- 102
- 103 (a) Especificado en una publicación de Estándares Federales de Procesamiento de Información (FIPS),  
104 (b) Adoptado en una recomendación FIPS o NIST, o  
105 (c) Especificadas en la lista de funciones de seguridad aprobadas para FIPS 140-3.
- 106 9. Control de Exportaciones. Ciertos dispositivos criptográficos y los datos técnicos relacionados con ellos están  
107 sujetos a controles federales de exportación. Las exportaciones de módulos criptográficos que implementan  
108 este estándar y los datos técnicos relacionados con ellos deben cumplir con todas las leyes y regulaciones  
109 federales y estar autorizadas por la Oficina de Industria y Seguridad del Departamento de Comercio de EE. UU.  
110 La información sobre las regulaciones de exportación está disponible en <https://www.bis.doc.gov>.
- 111 10. Patentes. NIST ha celebrado dos acuerdos de licencia de patentes para facilitar la adopción de la  
112 selección anunciada por el NIST del algoritmo PQC de cifrado de clave pública CRYSTALS-KYBER.  
113 El NIST y las partes otorgantes de licencias comparten el deseo, en aras del interés público, de que las  
114 patentes con licencia estén disponibles gratuitamente para que las practique cualquier implementador del  
115 algoritmo ML-KEM publicado por el NIST. ML-KEM es el nombre que recibe el algoritmo en este estándar  
116 derivado de CRYSTALS- KYBER. Para obtener un resumen y extractos de la licencia, consulte [https://](https://csrc.nist.gov/csrc/media/Projects/post-quantum-cryptography/documents/selected-algos-2022/nist-pqc-license-summer-and-excerpts.pdf)  
117 [csrc.nist.gov/csrc/media/Projects/post-quantum-cryptography/documents/selected-algos-2022/nist-pqc-](#)  
118 [license-summer-and-excerpts.pdf](#). La implementación del algoritmo especificado en el estándar puede estar  
119 cubierta por patentes estadounidenses y extranjeras de las que el NIST no tiene conocimiento.

- 120 11. Calendario de implementación. Esta norma entra en vigor inmediatamente después de la publicación final.  
121 ción.
- 122 12. Especificaciones. Estándares federales de procesamiento de información (FIPS) 203, basado en celosía de módulos  
123 Estándar del mecanismo de encapsulación de claves (adjunto).
- 124 13. Cualificaciones. En las aplicaciones, las garantías de seguridad de un KEM sólo son válidas bajo ciertas condiciones.  
125 condiciones (consulte NIST SP 800-227 [1]). Una de esas condiciones es el secreto de varios valores,  
126 incluida la aleatoriedad utilizada por las dos partes, la clave de decapsulación y el secreto compartido  
127 clave en sí. Por lo tanto, los usuarios deberán protegerse contra la divulgación de estos valores.
- 128 Si bien la intención de esta norma es especificar los requisitos generales para implementar  
129 Algoritmos ML-KEM, la conformidad con este estándar no garantiza que una implementación particular sea  
130 segura. Es responsabilidad del implementador garantizar que cualquier módulo que  
131 implementa una capacidad de establecimiento clave está diseñada y construida de manera segura.
- 132 De manera similar, el uso de un producto que contenga una implementación que cumpla con este  
133 estándar no garantiza la seguridad del sistema general en el que se utiliza el producto. La autoridad  
134 responsable de cada agencia o departamento deberá garantizar que una implementación general  
135 proporcione un nivel aceptable de seguridad.
- 136 El NIST seguirá siguiendo los avances en el análisis del algoritmo ML-KEM. Al igual que con sus otros estándares  
137 de algoritmos criptográficos, el NIST reevaluará formalmente este estándar cada cinco años.  
138
- 139 Tanto este estándar como las posibles amenazas que reducen la seguridad proporcionada mediante el uso de  
140 este estándar serán revisados por el NIST según corresponda, teniendo en cuenta los análisis y la tecnología  
141 recientemente disponibles. Además, el conocimiento de cualquier avance tecnológico o cualquier debilidad  
142 matemática del algoritmo hará que el NIST reevalúe este estándar y proporcione las revisiones necesarias.  
143
- 144 14. Procedimiento de Renuncia. La Ley Federal de Gestión de Seguridad de la Información (FISMA) no  
145 no permitir exenciones a los Estándares Federales de Procesamiento de Información (FIPS) que se realicen  
146 obligatorio por el Secretario de Comercio.
- 147 15. Dónde obtener copias de la norma. Esta publicación está disponible accediendo  
148 <https://csrc.nist.gov/publications>. Otras publicaciones sobre seguridad informática están disponibles en  
149 mismo sitio web.
- 150 16. Cómo citar esta publicación. NIST ha asignado NIST FIPS 203 ipd como publicación  
151 identificador para este FIPS, según la [sintaxis de identificador de publicaciones de la serie técnica del NIST](#). NIST  
152 recomienda que se cite de la siguiente manera:
- 153 Instituto Nacional de Estándares y Tecnología (2023) Estándar de mecanismo de encapsulación de  
154 clave basado en módulo . (Departamento de Comercio, Washington, DC), Publicación de estándares  
155 federales de procesamiento de información (FIPS) NIST FIPS  
156 203 ipd. <https://doi.org/10.6028/NIST.FIPS.203.ipd>
- 157 17. Consultas y Comentarios. Las consultas y comentarios sobre este FIPS pueden enviarse a  
158 [fps-203-comments@nist.gov](mailto:fps-203-comments@nist.gov).

159 Convocatoria de reclamaciones de patentes

160 Esta revisión pública incluye una convocatoria de información sobre reivindicaciones de patentes esenciales (reivindicaciones  
161 cuyo uso sería necesario para cumplir con la orientación o los requisitos de este borrador de publicación del Laboratorio de  
162 Tecnología de la Información (ITL)). Dichas orientaciones y/o requisitos pueden indicarse directamente en esta Publicación ITL o  
163 mediante referencia a otra publicación. Esta convocatoria también incluye la divulgación, cuando se conozca, de la existencia de  
164 solicitudes de patentes estadounidenses o extranjeras pendientes relacionadas con este borrador de publicación ITL y de  
165 cualquier patente estadounidense o extranjera relevante y vigente.

166 ITL podrá exigir al titular de la patente, o a una parte autorizada para dar garantías en su nombre, en forma escrita o electrónica,  
167 ya sea:

168 a) garantía en forma de descargo de responsabilidad general en el sentido de que dicha parte no posee y  
169 actualmente no tiene la intención de poseer ninguna reivindicación de patente esencial; o

170 b) garantía de que una licencia para dichas reivindicaciones de patente esenciales estará disponible para los solicitantes que  
171 deseen utilizar la licencia con el fin de cumplir con la guía o  
172 requisitos en este borrador de publicación del DIT:

173 (i) bajo términos y condiciones razonables que estén demostrablemente libres de cualquier trato injusto  
174 discriminación; o

175 (ii) sin compensación y bajo términos y condiciones razonables que estén demostrablemente libres de cualquier  
176 discriminación injusta.

177 Dicha garantía deberá indicar que el titular de la patente (o un tercero autorizado para dar garantías en su nombre) incluirá en  
178 cualquier documento de transferencia de propiedad de patentes sujetas a la garantía, disposiciones suficientes para garantizar  
179 que los compromisos de la garantía sean vinculantes para el cesionario. y que el cesionario incluirá igualmente disposiciones  
180 apropiadas en caso de futuras transferencias con el objetivo de vincular a cada sucesor en interés.  
181

182 La garantía también indicará que está destinada a ser vinculante para los sucesores en interés independientemente de si dichas  
183 disposiciones están incluidas en los documentos de transferencia pertinentes.

184 Dichas declaraciones deben dirigirse a: [fps-203-comments@nist.gov](mailto:fps-203-comments@nist.gov).

185           Publicación 203 de normas federales de procesamiento de información

186                           Especificación para el

187           Encapsulación de claves basada en módulos

188                           Estándar del mecanismo

189                           Tabla de contenido

190	1. Introducción	1
191	1.1 Propósito y Alcance	1
192	1.2 Contexto	1
193	1.3 Diferencias con la presentación de CRYSTALS-KYBER	2
194	2 Glosario de términos, acrónimos y símbolos matemáticos	3
195	2.1 Términos y definiciones	3
196	2.2 Acrónimos	4
197	2.3 Símbolos matemáticos	5
198	2.4 Interpretación del pseudocódigo	6
199	3 Descripción general del esquema ML-KEM	11
200	3.1 Mecanismos clave de encapsulación	11
201	3.2 El esquema ML-KEM	12
202	3.3 Requisitos para implementaciones ML-KEM	14
203	4 algoritmos auxiliares	decidido
204	4.1 Funciones criptográficas	decidido
205	4.2 Algoritmos generales	17
206	4.2.1 Algoritmos de conversión y compresión	17
207	4.2.2 Algoritmos de muestreo	19
208	4.3 La transformada teórica de números	21
209	4.3.1 Multiplicación en el Dominio NTT	23
210	5 El esquema de componentes K-PKE	25
211	5.1 Generación de claves K-PKE	25
212	5.2 Cifrado K-PKE	26
213	5.3 Descifrado K-PKE	28



214	6 El mecanismo de encapsulación de claves ML-KEM	29
215	6.1 Generación de claves ML-KEM	29
216	6.2 Encapsulación ML-KEM	30
217	6.3 Decapsulación ML-KEM	31
218	7 conjuntos de parámetros	33
219	Referencias	35
220	Apéndice A: Categorías de resistencia de la seguridad	37

230	Lista de algoritmos	
231	Algoritmo 1 por ejemplo.	
232	Algoritmo 2 Bits a bytes (b)	7 17
233	Algoritmo 3 BytesABits(B)	18
234	Algoritmo 4 bytes codificados (F)	19
235	Algoritmo 5 bytes decodificados (B)	19
236	Algoritmo 6 MuestraNTT(B)	20
237	Algoritmo 7 MuestraPolyCBD $\eta$ (B)	20
238	Algoritmo 8 NTT(f)	
239	Algoritmo 9 NTT-1(f <sup>-1</sup> )	22 ..... 23 24
240	Algoritmo 10 Multiplicar NTT(f <sup>-1</sup> ,g <sup>-1</sup> )	
241	Algoritmo 11 BaseCaseMultiply(a0,a1,b0,b1, $\gamma$ )	24
242	Algoritmo 12 K-PKE.KeyGen()	26
243	Algoritmo 13 K-PKE.Encrypt(ekPKE,m,r)	27
244	Algoritmo 14 K-PKE.Decrypt(dkPKE, c)	28
245	Algoritmo 15 ML-KEM.KeyGen()	29
246	Algoritmo 16 ML-KEM.Encaps(ek)	30
247	Algoritmo 17 ML-KEM.Decaps(c,dk)	32

## 248 1. Introducción

### 249 1.1 Propósito y Alcance

250 Este estándar especifica el mecanismo de encapsulación de claves basado en módulo de celosía, o ML-KEM.  
251 Un mecanismo de encapsulación de claves (o KEM) es un conjunto de algoritmos que se pueden utilizar para establecer  
252 una clave secreta compartida entre dos partes que se comunican a través de un canal público. Un KEM es un tipo  
253 particular de esquema de establecimiento de claves. Los esquemas actuales de establecimiento de claves aprobados  
254 por el NIST se especifican en NIST SP-800-56A, Recomendación para esquemas de establecimiento de claves por pares.  
255 Uso de criptografía basada en logaritmos discretos [2] y NIST SP-800-56B, Recomendación para  
256 Esquemas de establecimiento de claves por pares que utilizan criptografía de factorización de enteros [3].

257 Es bien sabido que los esquemas de establecimiento de claves especificados en NIST SP-800-56A y NIST SP-800-56B  
258 son vulnerables a ataques que utilizan computadoras cuánticas suficientemente capaces. ML-KEM es una alternativa  
259 aprobada que actualmente se cree que es segura incluso contra adversarios en posesión de una computadora  
260 cuántica. ML-KEM se deriva de la versión de tercera ronda de CRYSTALS-KYBER KEM [4], una presentación en el  
261 proyecto de estandarización de criptografía poscuántica del NIST . Para conocer las diferencias entre ML-KEM y  
262 CRYSTALS-KYBER, consulte la Sección 1.3.

264 Este estándar especifica los algoritmos y conjuntos de parámetros del esquema ML-KEM . Su objetivo es  
265 proporcionar información suficiente para implementar ML-KEM de una manera que pueda pasar la validación  
266 (consulte <https://csrc.nist.gov/projects/cryptographic-module-validation-program>). Para conocer las definiciones  
267 y propiedades generales de los KEM, incluidos los requisitos para el uso seguro de los KEM en aplicaciones,  
268 consulte NIST SP 800-227 [1].

269 Este estándar especifica tres conjuntos de parámetros para ML-KEM. Estos conjuntos de parámetros ofrecen  
270 diferentes compensaciones entre la solidez de la seguridad y el rendimiento. Los tres conjuntos de parámetros  
271 de ML-KEM están aprobados para proteger sistemas de comunicación sensibles y no clasificados del gobierno  
272 federal de EE. UU.

### 273 1.2 Contexto

274 En los últimos años, ha habido un progreso constante hacia la construcción de computadoras cuánticas.  
275 Si se construyen computadoras cuánticas a gran escala, la seguridad de muchos criptosistemas de clave pública de  
276 uso común estará en riesgo. Esto incluiría esquemas de establecimiento de claves y esquemas de firma digital que se  
277 basan en la factorización de números enteros y logaritmos discretos (tanto en campos finitos como en curvas elípticas).  
278 Como resultado, en 2016, el Instituto Nacional de Estándares y Tecnología (NIST) inició un proceso público para  
279 seleccionar algoritmos criptográficos de clave pública resistentes a los cuánticos para su estandarización. Se envió un  
280 total de 82 algoritmos candidatos al NIST para su consideración para su estandarización.

282 Después de tres rondas de evaluación y análisis, el NIST seleccionó los primeros cuatro algoritmos para  
283 estandarizarlos como resultado del proceso de estandarización de la criptografía poscuántica (PQC). Estos  
284 algoritmos están destinados a proteger la información confidencial del gobierno de los EE. UU. durante mucho  
285 tiempo en el futuro previsible, incluso después de la llegada de las computadoras cuánticas. Este estándar  
286 especifica una variante del algoritmo seleccionado CRYSTALS-KYBER, un mecanismo de encapsulación de  
287 claves basado en celosía (KEM) [4]. En este estándar, el KEM especificado aquí se denominará ML-KEM,

288 ya que se basa en el llamado supuesto de Aprendizaje de Módulos con Errores.

### 289 1.3 Diferencias con la presentación de CRYSTALS-KYBER

290 A continuación se muestra una lista de todas las diferencias de esquema entre CRYSTALS-KYBER (como se  
291 describe en [4]) y el esquema ML-KEM especificado en este documento. La lista consta únicamente de aquellas  
292 diferencias que resultan en un comportamiento diferente de entrada y salida de los algoritmos principales (es decir,  
293 KeyGen, Encaps, Decaps) de CRYSTALS-KYBER y ML-KEM. Recuerde que una implementación conforme solo  
294 necesita coincidir con el comportamiento de entrada-salida de estos tres algoritmos (consulte “Implementaciones”  
295 más arriba y la Sección 3.3 a continuación). En consecuencia, la siguiente lista no incluye ninguna de las numerosas  
296 diferencias en cómo los algoritmos principales realmente producen salidas a partir de entradas (por ejemplo, a  
297 través de diferentes pasos computacionales o diferentes subrutinas). La siguiente lista tampoco incluye ninguna  
298 diferencia en la presentación entre esta norma y [4].

- 299 • En la especificación de la tercera ronda [4], la clave secreta compartida se trató como un valor de longitud  
300 variable cuya longitud depende de cómo se usaría esta clave en la aplicación relevante. En esta  
301 especificación, la longitud de la clave secreta compartida se fija en 256 bits. En esta especificación, esta  
302 clave se puede utilizar directamente en aplicaciones como clave simétrica; alternatively, se pueden  
303 derivar claves simétricas a partir de esta clave, como se especifica en la Sección 3.3.
- 304 • Los algoritmos [ML-KEM.Encaps](#) y [ML-KEM.Decaps](#) en esta especificación utilizan una variante diferente de  
305 la transformada Fujisaki-Okamoto (ver [5, 6]) que la especificación de tercera ronda [4]. Específicamente,  
306 [ML-KEM.Encaps](#) ya no incluye un hash del texto cifrado en la derivación del secreto compartido y [ML-](#)  
307 [KEM.Decaps](#) se ha ajustado para que coincida con este cambio.
- 308
- 309 • En la especificación de tercera ronda [4], la aleatoriedad inicial  $m$  en [ML-KEM.Encaps](#)  
310 El algoritmo fue codificado por primera vez antes de ser utilizado. Específicamente, entre las  
311 líneas 1 y 2 del Algoritmo 16, hubo un paso adicional que realizó la operación  $m \leftarrow H(m)$ . El  
312 propósito de este paso era proteger contra el uso de procesos de generación de aleatoriedad  
313 defectuosos. Como este estándar requiere el uso de generación de aleatoriedad aprobada  
314 por NIST, este paso es innecesario y no se realiza en ML-KEM.
- 315 • Esta especificación incluye pasos explícitos de validación de entradas que no formaban parte de la  
316 especificación de la tercera ronda [4]. Por ejemplo, [ML-KEM.Encaps](#) requiere que la matriz de bytes que  
317 contiene la clave de encapsulación se decodifique correctamente en una matriz de enteros módulo  $q$  sin  
318 ninguna reducción modular.

## 2. Glosario de términos, acrónimos y símbolos matemáticos

### 2.1 Términos y definiciones

aprobado	Aprobado por FIPS y/o recomendado por NIST. Un algoritmo o técnica que 1) se especifica en una recomendación FIPS o NIST, 2) se adopta en una recomendación FIPS o NIST, o 3) se especifica en una lista de funciones de seguridad aprobadas por NIST.
decapsulación	El proceso de aplicación del algoritmo Decaps de un KEM. Este algoritmo acepta un texto cifrado KEM y la clave de decapsulación como entrada y produce una clave secreta compartida como salida.
clave de decapsulación	Clave criptográfica producida por un KEM durante la generación de claves y utilizada durante el proceso de decapsulación. La clave de decapsulación debe mantenerse privada y debe destruirse cuando ya no sea necesaria.
clave de descifrado	Una clave criptográfica que se utiliza con un PKE para descifrar textos cifrados en textos sin formato. La clave de descifrado debe mantenerse privada y debe destruirse cuando ya no sea necesaria.
destruir	Una acción aplicada a una clave u otro dato secreto. Una vez destruido un dato secreto, no se puede recuperar ninguna información sobre su valor.
encapsulación	El proceso de aplicación del algoritmo Encaps de un KEM. Este algoritmo acepta la aleatoriedad privada y la clave de encapsulación como entrada y produce una clave secreta compartida y un texto cifrado asociado como salida.
clave de encapsulación	Clave criptográfica producida por un KEM durante la generación de claves y utilizada durante el proceso de encapsulación. La clave de encapsulación se puede hacer pública.
Clave de encriptación	Una clave criptográfica que se utiliza con un PKE para cifrar textos sin formato en textos cifrados. La clave de cifrado se puede hacer pública.
proceso equivalente	Dos procesos son equivalentes si se produce la misma salida cuando se ingresan los mismos valores a cada proceso (ya sea como parámetros de entrada, como valores disponibles durante el proceso, o ambos).
función hash	Una función en cadenas de bits en la que la longitud de la salida es fija. Las funciones hash aprobadas relevantes para este estándar se especifican en FIPS 202 [7].
Texto cifrado KEM	Una cadena de bits que se produce mediante encapsulación y se utiliza como entrada para la decapsulación.
llave	Una cadena de bits que se utiliza junto con un algoritmo criptográfico. Los ejemplos aplicables a este estándar incluyen: las claves de encapsulación y desencapsulación (de un KEM), la clave secreta compartida (producida por un KEM) y las claves de cifrado y descifrado (de una PKE).

357	mecanismo de	Un conjunto de tres algoritmos criptográficos (KeyGen, Encaps y Decaps) que pueden
358	encapsulación de claves (KEM)	Enviar dos partes para establecer una clave secreta compartida a través de un canal
359		público.
360	Par de claves	Un conjunto de dos claves con la propiedad de que una clave puede hacerse pública
361		mientras que la otra debe mantenerse privada. En este estándar, esto podría referirse al
362		par de claves (clave de encapsulación, clave de desencapsulación) de un KEM o al par
363		de claves (clave de cifrado, clave de descifrado) de un PKE.
364	fiesta	Un individuo (persona), organización, dispositivo o proceso. En esta especificación ,
365		hay dos partes (Parte A y Parte B, o Alice y Bob), y realizan conjuntamente el proceso
366		de establecimiento de claves utilizando un KEM.
367	pseudoaleatorio	Se dice que un proceso (o datos producidos por un proceso) es pseudoaleatorio cuando
368		el resultado es determinista pero también parece aleatorio siempre que la acción interna
369		del proceso esté oculta a la observación. Para fines criptográficos, "efectivamente
370		aleatorio" significa "computacionalmente indistinguible de aleatorio dentro de los límites
371		de la seguridad prevista ".
372		
373	canal publico	Un canal de comunicación entre dos partes; dicho canal puede ser observado y
374		posiblemente también dañado por terceros.
375	esquema de	Un conjunto de tres algoritmos criptográficos (KeyGen, Encrypt y Decrypt) que pueden
376	cifrado de clave pública	utilizar dos partes para enviar datos secretos a través de un canal público.
377	(PKE)	También conocido como esquema de cifrado asimétrico.
378	clave secreta compartida	El resultado final de un proceso de establecimiento de clave KEM. Es una clave
379		criptográfica que se puede utilizar para criptografía de clave simétrica. Debe mantenerse
380		en privado y debe destruirse cuando ya no sea necesario.
381	categoría de seguridad	Un número asociado con la fuerza de seguridad de un algoritmo criptográfico poscuántico
382		según lo especificado por NIST (consulte el Apéndice A, Tabla 4).
383	Fuerza de seguridad	Un número asociado con la cantidad de trabajo que se requiere para romper un algoritmo o
384		sistema criptográfico.
385	deberá	Se utiliza para indicar un requisito de esta norma.
386	debería	Se utiliza para indicar una recomendación fuerte pero no un requisito de esta norma.
387		Ignorar la recomendación podría conducir a resultados indeseables.
388		
389		

## 390 2.2 Acrónimos

391	AES	Estándar de cifrado avanzado
392	CDB	Distribución Binomial Centrada
393	FIPS	Estándar federal de procesamiento de información

394	KEM	Mecanismo de encapsulación de claves
395	LWE	Aprender con errores
396	MLWE	Módulo de aprendizaje con errores
397	NIST	Instituto Nacional de Estándares y Tecnología
398	nistir	Informe interinstitucional o interno del NIST
399	NTT	Transformada teórica de números
400	PKE	Cifrado de clave pública
401	PQC	Criptografía poscuántica
402	PRF	Función pseudoaleatoria
403	RBG	Generador de bits aleatorios
404	sha	Algoritmo hash seguro
405	AGITAR	Algoritmo hash seguro KECCAK
406	SP	Publicación especial
407	XOF	Función de salida extensible
408		

### 409 2.3 Símbolos matemáticos

410	S	Si S es un conjunto, esto denota el conjunto de tuplas (o matrices) de longitud finita de elementos del conjunto S, incluida la tupla vacía (o matriz vacía).
411		
412	Sk	Si S es un conjunto, esto denota el conjunto de k-tuplas (o matrices de longitud-k) de elementos del conjunto S.
413		
414	BitRev7(r)	Inversión de bits de un entero r de siete bits . Específicamente, si $r = r_0 + 2r_1 + 4r_2 + \dots + 64r_6$ con $r_i \in \{0,1\}$ , entonces $\text{BitRev7}(r) = r_6 + 2r_5 + 4r_4 + \dots + 64r_0$ .
415		
416	$\hat{\phantom{x}}$	El elemento de $T_q$ que es igual a la representación NTT de un polinomio $f \in R_q$ (ver Sección 4.3).
417	F	
418	q	El conjunto de los números racionales.
419	zm	El anillo de números enteros módulo m, es decir, el conjunto $\{0,1,\dots,m-1\}$ equipado con las operaciones de suma y multiplicación módulo m.
420		
421	z	El conjunto de los números enteros.
422	$\text{EN}_{\text{Vermont}}$	La transpuesta de una fila o columna v; además, la transpuesta de una matriz A.
423	fj	
424	r mod m	El entero único $r'$ en $\{0,1,\dots,m-1\}$ tal que m divide $r - r'$ .

425	$r \bmod \pm m$	Para $m$ par (respectivamente, impar), esto denota el entero único $r'$ tal que $-m/2 < r' \leq m/2$ (respectivamente, $-(m-1)/2 \leq r' \leq (m-1)/2$ ) y $m$ divide $r - r'$ .
426		
427		
428	$ B $	Si $B$ es un número, esto denota el valor absoluto de $B$ . Si $B$ es una matriz, esto denota su longitud.
429		
430		El techo de $x$ , es decir, el número entero más pequeño mayor o igual a $x$ .
431	$\lceil x \rceil$	El redondeo de $x$ al número entero más cercano; si $x = y + 1/2$ para algún $y \in \mathbb{Z}$ , entonces $\lceil x \rceil = y + 1$ .
432		
433	$\lfloor x \rfloor$	El piso de $x$ , es decir, el mayor entero menor o igual a $x$ .
434	$B$	El conjunto $\{0, 1, \dots, 255\}$ de enteros de 8 bits sin signo (bytes).
435	$A \parallel B$	La concatenación de dos matrices o cadenas de bits $A$ y $B$ .
436	$B[i]$	La entrada en el índice $i$ en la matriz $B$ . Todas las matrices tienen índices que comienzan en cero.
437	$B[k:m]$	El subarreglo $(B[k], B[k+1], \dots, B[m-1])$ del arreglo $B$ .
438	$\text{note}$	Denota el número entero 256 en todo este documento.
439	$q$	Denota el número entero primo $3329 = 28 \cdot 13 + 1$ en todo este documento.
440	$R_q$	El anillo $\mathbb{Z}_q[X]/(X^n + 1)$ que consta de polinomios de la forma $f = f_0 + f_1X + \dots + f_{255}X^{255}$ donde $f_j \in \mathbb{Z}_q$ para todo $j$ , equipado con módulo de suma y multiplicación $X^n + 1$ .
441		
442		
443	$s \leftarrow x$	En pseudocódigo, esta notación significa que a la variable $s$ se le asigna el valor de la expresión $x$ .
444		
445	$s \leftarrow B \ell$	En pseudocódigo, esta notación significa que a la variable $s$ se le asigna el valor de una matriz de $\ell$ bytes aleatorios. Los bytes deben generarse mediante aleatoriedad a partir de un RGB aprobado (consulte la Sección 3.3).
446		
447		
448	$t_q$	La imagen de $R_q$ bajo la transformada de teoría de números. Sus elementos se denominan "representaciones NTT" de polinomios en $R_q$ (ver la Sección 4.3).
449		

## 450 2.4 Interpretación del pseudocódigo

451 Esta sección describe las convenciones del pseudocódigo utilizado para describir los algoritmos de este  
 452 estándar. Se entiende que todos los algoritmos tienen acceso a dos constantes enteras globales:  $n = 256$  y  $q =$   
 453  $3329$ . También hay cinco variables enteras globales:  $k$ ,  $\eta_1$ ,  $\eta_2$ ,  $du$  y  $dv$ . Todas las demás variables son locales.  
 454 Las cinco variables globales se establecen en valores particulares cuando se selecciona un conjunto de  
 455 parámetros (consulte la Sección 7).

456 Cuando los algoritmos de esta especificación invocan otros algoritmos como subrutinas, todos los argumentos  
 457 (entradas) se pasan por valor. En otras palabras, se crea una copia de las entradas y con la copia se invoca la  
 458 subrutina. No existe el "pasar por referencia".

459

460 Tipos de datos. Para variables que representan la entrada o salida de un algoritmo, el tipo de datos (p. ej.,



461 bit, byte, matriz de bits) se describirán explícitamente al comienzo del algoritmo. Para la mayoría de las variables locales  
 462 del pseudocódigo, el tipo de datos se deduce fácilmente del contexto. Para todas las demás variables, el tipo de datos se  
 463 declarará en un comentario. En un algoritmo único, el tipo de datos de una variable se determina la primera vez que se  
 464 utiliza la variable y no se cambiará. Los nombres de variables pueden reutilizarse y se reutilizarán en diferentes  
 465 algoritmos, incluso con diferentes tipos de datos.

466 Además de los tipos de datos atómicos estándar (p. ej., bits, bytes) y estructuras de datos (p. ej., matrices), también se  
 467 utilizarán enteros módulo  $m$  (es decir, elementos de  $Z_m$ ) como tipo de datos abstractos. Está implícito que la reducción  
 468 del módulo  $m$  tiene lugar siempre que se realiza una asignación a una variable en  $Z_m$ . Por ejemplo, para  $z \in Z_m$  y  
 469 cualquier número entero  $x, y$ , la declaración

$$z \leftarrow x+y \quad (2.1)$$

470 significa que a  $z$  se le asigna el valor  $x+y \bmod m$ . El pseudocódigo es independiente con respecto a cómo se representa  
 471 un módulo entero  $m$  en implementaciones reales o cómo se calcula la reducción modular.

472  
 473 Sintaxis de bucle. El pseudocódigo utilizará los bucles "while" y "for". La sintaxis del "mientras" se explica por sí  
 474 misma. En el caso de los bucles "for", la sintaxis será del estilo del lenguaje de programación C. En el Algoritmo 1 se  
 475 dan dos ejemplos sencillos.

---

#### Algoritmo 1 para ejemplo

---

Realiza dos bucles "for" simples.

1: para ( $i \leftarrow 0$ ; $i < 10$ ; $i++$ )	
2: $A[i] \leftarrow i$ 3:	A es una matriz de números enteros de
final para 4:	longitud 10    A ahora tiene el valor (0,1,2,3,4,5,6,7,8,9)
$j \leftarrow 0$ 5:	
para ( $k \leftarrow 256$ ; $k > 1$ ; $k \leftarrow k/2$ )	
6: $B[j] \leftarrow kj$	B es una matriz de números enteros de longitud 8
7: $j \leftarrow j+1$ 8:	
final para	B ahora tiene el valor (256,128,64,32,16,8,4,2)

---

Aritmética con matrices de números enteros. Este estándar hace un uso extensivo de matrices de números enteros módulo  $m$  (es decir, elementos de  $Z_m$ ). En un caso típico, los valores relevantes son  $m = q$  y  $\ell = n = 256$ .

Aritmética con matrices en  $Z_m^\ell$  se realizará de la siguiente manera. Sean  $a \in Z_m$  y  $X, Y \in Z_m^\ell$ . Las declaraciones

$$Z \leftarrow a \cdot X$$

$$W \leftarrow X + Y$$

476 dará como resultado dos matrices  $Z, W \in Z_m^\ell$ , con la propiedad de que  $Z[i] = a \cdot X[i]$  y  $W[i] = X[i] + Y[i]$   
 477 para todos  $i$ . Multiplicación de matrices en  $Z_m^\ell$  sólo tendrá sentido cuando  $m = q$  y  $\ell = n = 256$ , en cuyo caso  
 478 corresponde a la multiplicación en un anillo particular. Esta operación se describirá en (2.2) a continuación.  
 479

480

481 Representaciones de objetos algebraicos. Una operación esencial en ML-KEM es la numeración.

transformada teórica (NTT), que asigna un polinomio  $f$  en un determinado anillo  $R_q$  a su "representación NTT"  $f$  en un anillo diferente  $T_q$ . Los anillos  $R_q$  y  $T_q$  y el NTT se analizan en detalle en la Sección 4.3. Este estándar representará elementos de  $R_q$  y elementos de  $T_q$  en pseudocódigo utilizando matrices de números enteros módulo  $q$ , de la siguiente manera.

Un elemento  $f$  de  $R_q$  es un polinomio de la forma

$$f = f_0 + f_1X + \dots + f_{255}X^{255} \quad R_q$$

y será representado en pseudocódigo por la matriz

$$(f_0, f_1, \dots, f_{255}) \quad Z_{256}_q$$

cuyas entradas contienen los coeficientes de  $f$ . Abusando un poco de la notación, esta matriz también se denotará por  $f$ . La entrada  $i$ -ésima de la matriz  $f$  contendrá así el coeficiente  $i$ -ésimo del polinomio  $f$  (es decir,  $f[i] = f_i$ ).

Un elemento (a veces llamado "representación NTT")  $g^{\wedge}$  de  $T_q$  es una tupla de 128 polinomios, cada uno de grado como máximo uno. Específicamente,

$$g^{\wedge} = (g^{\wedge}_{0,0} + g^{\wedge}_{0,1}X, g^{\wedge}_{1,0} + g^{\wedge}_{1,1}X, \dots, g^{\wedge}_{127,0} + g^{\wedge}_{127,1}X) \quad T_q.$$

Un objeto algebraico de este tipo estará representado en pseudocódigo por la matriz

$$(g^{\wedge}_{0,0}, g^{\wedge}_{0,1}, g^{\wedge}_{1,0}, g^{\wedge}_{1,1}, \dots, g^{\wedge}_{127,0}, g^{\wedge}_{127,1}) \quad Z_{256}.$$

Abusando un poco de la notación, esta matriz también se denotará por  $g^{\wedge}$ . En este caso, la correspondencia entre las entradas de la matriz y los coeficientes es  $g^{\wedge}[2i] = g^{\wedge}_{i,0}$  y  $g^{\wedge}[2i+1] = g^{\wedge}_{i,1}$  para  $i \in \{0, 1, \dots, 127\}$ .

Conversión entre un polinomio  $f \in R_q$  y su representación NTT  $f^{\wedge} \in T_q$  se realizará mediante los algoritmos NTT (Algoritmo 8) y NTT-1 (Algoritmo-9). Estos algoritmos actúan sobre matrices de  $f = \text{NTT}(f)$  y  $f^{\wedge} = \text{NTT-1}(f^{\wedge})$ . coeficientes, como se

494

Aritmética con polinomios y representaciones NTT. Las operaciones algebraicas de suma y multiplicación escalar en  $R_q$  y  $T_q$  se realizan por coordenadas. Por ejemplo, si  $a \in Z_q$  y  $f \in R_q$ , el coeficiente  $i$ -ésimo del polinomio  $a \cdot f \in R_q$  es igual a  $a \cdot f_i \bmod q$ . En pseudocódigo, los elementos tanto de  $R_q$  como de  $T_q$  se representan mediante matrices de coeficientes (es decir, elementos de  $Z_{256}$ ), como se describió anteriormente. Las operaciones algebraicas de suma y multiplicación escalar se realizan así mediante la suma y multiplicación escalar de las matrices de coeficientes correspondientes. Por ejemplo, la suma de dos representaciones NTT en pseudocódigo se realiza mediante una declaración de la forma  $h^{\wedge} \leftarrow f^{\wedge} + g^{\wedge}$ , donde  $h^{\wedge}, f^{\wedge}, g^{\wedge} \in Z_{256}$  son matrices de coeficientes.

Las operaciones algebraicas de multiplicación en  $R_q$  y  $T_q$  se tratan de la siguiente manera. Por motivos de eficiencia no se utilizará la multiplicación en  $R_q$ . El significado algebraico de la multiplicación en  $T_q$  se analiza en la Sección 4.3.1. En pseudocódigo, será realizado por el algoritmo MultiplyNTTs (Algoritmo 10). Específicamente, si  $f^{\wedge}, g^{\wedge} \in Z_{256}$  son un par de matrices (cada una representa el NTT de

507 algún polinomio), entonces

$$\hat{h} \leftarrow f^{\wedge} \times_{Tq} g^{\wedge} \quad \text{medio} \quad \hat{h} \leftarrow \text{Multiplicar NTT}(f^{\wedge}, g^{\wedge}). \quad (2.2)$$

508 El resultado es una matriz  $\hat{h} \in \mathbb{Z}_{256}^k$ .

509

510 Matrices y vectores. Además de matrices de números enteros módulo  $q$ , el pseudocódigo también utilizará  
 511 matrices cuyas entradas sean en sí mismas elementos de  $\mathbb{Z}_{256}^q$ . Por ejemplo, un elemento  $v \in (\mathbb{Z}_{256}^q)^3$  será  
 512 una matriz de longitud tres cuyas entradas  $v[0]$ ,  $v[1]$  y  $v[2]$  son en sí mismas elementos de  $\mathbb{Z}_{256}^q$  (es decir,  
 513 matrices). Se puede pensar que cada una de estas entradas representa un polinomio en  $R_q$ , de modo que  $v$   
 514 en sí mismo representa un elemento del módulo  $R_3$ .

515 Cuando se utilizan matrices para representar matrices y vectores cuyas entradas son elementos de  $R_q$ , se  
 516 indicarán con letras en negrita (por ejemplo,  $v$  para vectores y  $A$  para matrices). Cuando se utilizan matrices  
 517 para representar matrices y vectores cuyas entradas son elementos de  $T_q$ , se denotarán con un “sombbrero”  
 518 (p. ej.,  $\hat{v}$  y  $\hat{A}$ ). A menos que se realice una operación de transposición explícita, se entiende que los  
 519 vectores son vectores de columna. Entonces se pueden ver los vectores como el caso especial de matrices  
 520 con una sola columna.

521 La conversión entre matrices sobre  $R_q$  y matrices sobre  $T_q$  se realizará por coordenadas. Específicamente, si  $A$   
 522  $(\mathbb{Z}_{256}^q)^{k \times \ell}$ , entonces el enunciado

$$\hat{A} \leftarrow \text{NTT}(A)$$

523 dará como resultado  $(Z[i, j] = \sum_{k=0}^{255} A[k] \cdot \omega^{ik})$  para  $A$  de  $i, j$ . Esto implica ejecutar

524 resultado NTT un total de  $k \cdot \ell$  veces. Tenga en cuenta que el caso de los vectores corresponde a  $\ell = 1$ .

525

526 Aritmética con matrices y vectores. A continuación se describe cómo realizar aritmética con  
 527 matrices sin dejar de ver los vectores como un caso especial de matrices.

La suma y la multiplicación escalar se realizan por coordenadas. Suma de matrices sobre  $R_q$   
 y entonces  $T_q$  es sencillo. En el caso de  $T_q$ , la multiplicación escalar se realiza mediante (2.2). Por ejemplo, si  
 $f \in \mathbb{Z}_{256}^k$  y  $u \in (\mathbb{Z}_{256}^q)^k$ , entonces

$$\hat{w} \leftarrow f^{\wedge} \cdot u^{\wedge}$$

$$\hat{z} \leftarrow u^{\wedge} + v^{\wedge}$$

528 resultará en  $\hat{w}, \hat{z} \in (\mathbb{Z}_{256}^q)^k$  que satisface  $\hat{w}[i] = f^{\wedge} \times_{Tq} u^{\wedge}[i]$  y  $\hat{z}[i] = u^{\wedge}[i] + v^{\wedge}[i]$  para todo  $i$ . Tenga en cuenta que la  
 529 multiplicación y suma de entradas individuales aquí se realiza utilizando la aritmética apropiada para matrices de  
 530 coeficientes de elementos de  $T_q$ .

También será necesario multiplicar matrices con entradas en  $T_q$ . Esto se hace usando la multiplicación de  
 matrices estándar, siendo la multiplicación del caso base (es decir, la multiplicación de entradas individuales)  
 la multiplicación en  $T_q$ . Si  $\hat{A}$  y  $\hat{B}$  son dos matrices con entradas en  $T_q$ , su producto matricial se denotará  $\hat{A} \circ \hat{B}$ . A continuación se proporcionan algunos ejemplos de declaraciones en pseudocódigo que implican la  
 multiplicación de matrices. En estos ejemplos,  $\hat{A}$  es una matriz  $k \times k$ , mientras que  $u^{\wedge}$  y  $v^{\wedge}$  son vectores de longitud  $k$ . Todo

Tres de estos objetos están representados en pseudocódigo mediante matrices: una matriz  $k \times k$  para  $A^{\wedge}$  y longitud- $k$  matrices para  $u^{\wedge}$  y  $v^{\wedge}$ . Las entradas de  $A^{\wedge}$ ,  $u^{\wedge}$  y  $v^{\wedge}$  son elementos de  $Z_{256}$ . Las dos primeras declaraciones de pseudocódigo que aparecen a continuación producen un nuevo vector de longitud  $k$  cuyas entradas se especifican en el lado derecho. La tercera declaración de pseudocódigo calcula un producto escalar; por lo tanto, el resultado está en la base  $z$  del anillo  $Z_{256}$  (es decir,  $T_q$ ) y está representado por un elemento  $q$ .

$$\begin{aligned} w^{\wedge} &\leftarrow A^{\wedge} \circ u^{\wedge} & A^{\wedge}[i] &= \sum_{j=0}^{k-1} A[i, j] \times T_q \\ y^{\wedge} &\leftarrow A^{\wedge} \circ u^{\wedge} & y^{\wedge}[i] &= u^{\wedge}[i] \sum_{j=0}^{k-1} A[j, i] \times T_q \\ z^{\wedge} &\leftarrow u^{\wedge} \circ v^{\wedge} & z^{\wedge} &= \sum_{j=0}^{k-1} u^{\wedge}[j] \times T_q v^{\wedge}[j] \end{aligned}$$

531 La multiplicación  $\times T_q$  de las entradas individuales anteriores se realiza utilizando [MultiplyNTT](#), como se describe en  
532 [\(2.2\)](#) arriba.

533

534 Aplicar algoritmos a arrays. Las convenciones de la aritmética de coordenadas descritas anteriormente también se  
535 extenderán a los algoritmos que actúan sobre (y/o producen) un tipo de datos atómicos. Cuando el pseudocódigo  
536 invoca dicho algoritmo en una entrada de matriz, se da a entender que el algoritmo se invoca repetidamente para  
537 cada entrada de la matriz. Por ejemplo, la función [Compressd](#) :  $Z_q \rightarrow Z_{2d}$   
538 definido en la Sección 4 se puede invocar en una entrada de matriz  $F \in Z_{256}^q$  con la declaración

$$K \leftarrow \text{Comprimido}(F). \quad (2.3)$$

539 El resultado será que  $K \in Z_{256}$  y  $K[i] \equiv \text{Compressd}(F[i])$  para cada  $i$ . Este cálculo implica ejecutar el algoritmo  
540 [Compress](#) 256 veces.

### 3. Descripción general del esquema ML-KEM

Esta sección ofrece una descripción general de alto nivel del esquema ML-KEM.

#### 3.1 Mecanismos clave de encapsulación

La siguiente es una descripción breve e informal de los mecanismos de encapsulación de claves (o KEM). Para obtener más detalles, consulte NIST SP 800-227 [1].

Un mecanismo de encapsulación de claves (o KEM) es un conjunto de algoritmos que pueden usarse, bajo ciertas condiciones, para establecer una clave secreta compartida entre dos partes que se comunican. Esta clave secreta compartida se puede utilizar para criptografía de clave simétrica.

Un KEM consta de tres algoritmos y una colección de conjuntos de parámetros. Los tres algoritmos son:

- un algoritmo de generación de claves denominado KeyGen;
- un algoritmo de "encapsulación" denominado Encaps;
- un algoritmo de "decapsulación" indicado por Decaps.

La colección de conjuntos de parámetros se utiliza para seleccionar un equilibrio entre seguridad y eficiencia.

Cada parámetro establecido en la colección es una lista de valores numéricos específicos, uno para cada parámetro requerido por los algoritmos anteriores.

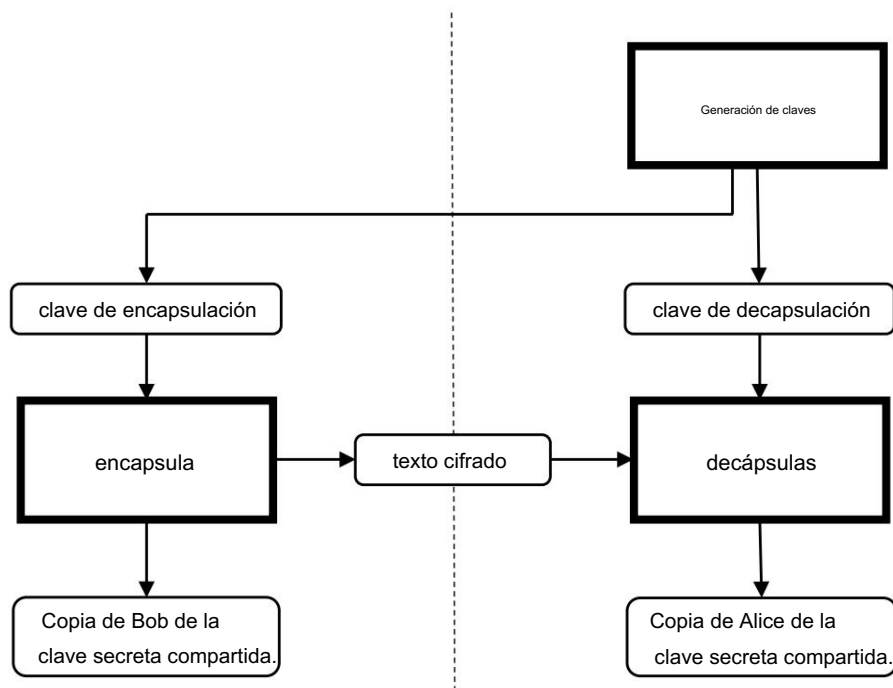


Figura 1. Una vista simple del establecimiento de claves utilizando un KEM

Se puede utilizar un KEM para establecer una clave secreta compartida entre dos partes (consulte la Figura 1), a las que aquí nos referiremos como Alice y Bob. Alice comienza ejecutando KeyGen para generar una clave de encapsulación (pública) y una clave de decapsulación (privada). Al obtener la clave de encapsulación de Alice,

559 Bob ejecuta el algoritmo Encaps ; esto produce la copia KB de Bob de la clave secreta compartida junto  
 560 con un texto cifrado asociado. Bob envía el texto cifrado a Alice y Alice completa el proceso ejecutando  
 561 el algoritmo Decaps utilizando su clave de decapsulación y el texto cifrado; este paso produce la copia  
 562 KA de Alice de la clave secreta compartida.

563 Después de completar el proceso anterior, a Alice y Bob les gustaría concluir que sus resultados individuales  
 564 satisfacen  $KA = KB$  y que este valor es una clave secreta compartida, aleatoria y segura. Sin embargo, estas  
 565 propiedades sólo se mantienen bajo ciertos supuestos importantes, como se analiza en NIST SP 800-227 [1].

## 566 3.2 El esquema ML-KEM

567 ML-KEM es un mecanismo de encapsulación de claves basado en CRYSTALS-KYBER [4], un esquema que  
 568 se describió inicialmente en [8]. La siguiente es una descripción breve e informal de la suposición computacional  
 569 subyacente a ML-KEM y cómo se construye el esquema ML-KEM .

570

571 El supuesto computacional. La seguridad de ML-KEM se basa en la presunta dificultad de  
 572 resolver el llamado problema de Aprendizaje de Módulos con Errores (MLWE) [9], una  
 573 generalización del problema de Aprendizaje con Errores (LWE) introducido por Regev en  
 574 2005 [10]. La dureza del problema MLWE se basa en la supuesta dureza de ciertos problemas  
 575 computacionales en redes de módulos [9]. De ahí el nombre del esquema ML-KEM.

576 En el problema LWE, la entrada es un conjunto de ecuaciones lineales aleatorias "ruidosas" en algunas  
 577 variables secretas  $x$  y la tarea es recuperar  $x$ . El ruido en las ecuaciones es tal que los algoritmos  $q$  estándar  
 578 (por ejemplo, la eliminación gaussiana) son intratables. El problema LWE se presta naturalmente a aplicaciones  
 579 criptográficas. Por ejemplo, si  $x$  se interpreta como una clave secreta, entonces se puede cifrar un valor de un  
 580 bit muestreando una ecuación lineal aproximadamente correcta (si el valor del bit es cero) o una ecuación  
 581 lineal que dista mucho de ser correcta (si el valor del bit es uno). Es plausible que sólo una  
 582 parte en posesión de  $x$  pueda distinguir estos dos casos. Luego, el cifrado se puede delegar a otra parte  
 583 mediante la publicación de una gran colección de ecuaciones lineales ruidosas, que la parte que cifra puede  
 584 combinar adecuadamente . El resultado es un esquema de cifrado asimétrico.

585 A alto nivel, el problema MLWE plantea la misma tarea que LWE pero con  $\mathbb{Z}_n$  reemplazado con  $\mathbb{Z}_q$   
 586 el módulo  $\mathbb{R}_k$  construido tomando el producto cartesiano  $k$  veces mayor de un cierto anillo polinómico  
 587  $\mathbb{R}_q$  para algún entero  $k > 1$ . En particular, el secreto es ahora un elemento  $x$  del módulo  $\mathbb{R}_k$

588

589 La construcción ML-KEM . A alto nivel, la construcción del ML-KEM se desarrolla en dos pasos. Primero,  
 590 la idea mencionada anteriormente se utiliza para construir un esquema de cifrado de clave pública a partir  
 591 del problema MLWE. En segundo lugar, este esquema de cifrado de clave pública se convierte en un  
 592 mecanismo de encapsulación de claves mediante la denominada transformada Fujisaki-Okamoto (FO) [11, 12].  
 593 Además de producir un KEM, la transformación FO también pretende proporcionar seguridad en un modelo de  
 594 ataque adversario significativamente más general. Como resultado, se cree que ML-KEM satisface la llamada  
 595 seguridad IND-CCA [1, 4, 13].

596 La especificación de los algoritmos ML-KEM en este estándar seguirá el patrón anterior.

597 Específicamente, este estándar describirá primero un esquema de cifrado de clave pública llamado K-PKE y  
 598 luego utilizará los algoritmos de K-PKE como subrutinas al describir los algoritmos de ML-KEM.

599 La transformación criptográfica de K-PKE a ML-KEM es crucial para lograr una seguridad total.

El esquema K-PKE no es lo suficientemente seguro y no debe utilizarse como un esquema independiente (consulte la Sección 3.3).

Una característica notable de ML-KEM es el uso de la transformada de teoría de números (NTT). La NTT convierte un polinomio  $f$   $\mathbb{R}_q$  a una representación alternativa como un vector  $f$  de polinomios lineales. Aunque las representaciones NTT permiten una multiplicación rápida, se deben aplicar otras operaciones, como el redondeo y el muestreo, a las representaciones polinómicas estándar.

ML-KEM satisface las propiedades clave de corrección de KEM y se conoce una prueba de seguridad teórica asintótica (en un determinado modelo heurístico) [4]. Cada uno de los conjuntos de parámetros de ML-KEM viene con una fortaleza de seguridad asociada, que se estimó en base al criptoanálisis actual (consulte la Sección 7 para obtener más detalles).

Conjuntos de parámetros y algoritmos. Recuerde que un KEM consta de algoritmos KeyGen, Encaps y Decaps, junto con una colección de conjuntos de parámetros. En el caso de ML-KEM, los tres algoritmos antes mencionados son:

- [ML-KEM.KeyGen](#) (Algoritmo 15);
- [ML-KEM.Encaps](#) (Algoritmo 16);
- [ML-KEM.Decaps](#) (Algoritmo 17).

Estos algoritmos se describen y analizan en detalle en la Sección 6.

ML-KEM viene equipado con tres conjuntos de parámetros:

- ML-KEM-512 (categoría de seguridad 1);
- ML-KEM-768 (categoría de seguridad 3);
- ML-KEM-1024 (categoría de seguridad 5).

Estos conjuntos de parámetros se describen y analizan en detalle en la Sección 7; las categorías de seguridad 1 a 5 se definen en el Apéndice A. Cada conjunto de parámetros asigna un valor numérico particular a cinco variables enteras:  $k$ ,  $\eta_1$ ,  $\eta_2$ ,  $du$  y  $dv$ . Los valores de estas variables en cada conjunto de parámetros se dan en la Tabla 2 de la Sección 7. Además de estos cinco parámetros variables, también hay dos constantes:  $n = 256$  y  $q = 3329$ .

Fallos de decapsulación. Siempre que todas las entradas estén bien formadas, el procedimiento de establecimiento de claves de ML-KEM nunca fallará explícitamente. Específicamente, [ML-KEM.Encaps](#) y [ML-KEM.Decaps](#) Los algoritmos siempre generarán un valor con el mismo tipo de datos que una clave secreta compartida y nunca generarán un símbolo de error o falla. Sin embargo, es posible (aunque extremadamente improbable) que el proceso falle en el sentido de que Alice (a través de [ML-KEM.Decaps](#)) y Bob (a través de [ML-KEM.Encaps](#)) produzcan resultados diferentes, aunque ambos se comporten honestamente y no hay interferencia adversaria presente. En este caso, Alice y Bob claramente no lograron producir una clave secreta compartida. Este evento se llama falla de decapsulación. La probabilidad de falla de decapsulación se define como la probabilidad de que el proceso

1.  $(ek, dk) \leftarrow \text{ML-KEM.KeyGen}()$

638 2.  $(c, K) \leftarrow \text{ML-KEM.Encaps}(ek)$

639 3.  $K' \leftarrow \text{ML-KEM.Decaps}(c, dk)$

640 da como resultado  $K = K'$  (es decir, la clave encapsulada es diferente de la clave decapsulada). Las estimaciones  
641 de la probabilidad (o tasa) de falla de decapsulación para cada uno de los conjuntos de parámetros ML-KEM se dan  
642 en la Tabla 1 (ver [4]).

Tabla 1. Tasas de falla de decapsulación para ML-KEM

Conjunto de parámetros	Tasa de fallo de decapsulación
ML-KEM-512	2-139
ML-KEM-768	2-164
ML-KEM-1024	2-174

643  
644 Una nota sobre la terminología de las claves. Un KEM implica tres tipos diferentes de claves: claves de  
645 encapsulación, claves de decapsulación y claves secretas compartidas. ML-KEM se basa en el esquema  
646 de cifrado de clave pública K-PKE, y K-PKE tiene dos tipos de claves adicionales: claves de cifrado y  
647 claves de descifrado. En la literatura, las claves de encapsulación y las claves de cifrado a veces se  
648 denominan "claves públicas", mientras que las claves de decapsulación y descifrado a veces se pueden  
649 denominar "claves privadas". Para reducir la confusión, este estándar no utilizará los términos "clave  
650 pública" y "clave privada". En su lugar, nos referiremos a las claves utilizando los términos más específicos  
651 anteriores (es decir, clave de encapsulación, clave de decapsulación, clave de cifrado, clave de descifrado  
652 o clave secreta compartida).

### 653 3.3 Requisitos para implementaciones ML-KEM

654 Esta sección describe varios requisitos para implementar los algoritmos de ML-KEM.

655 Los requisitos para utilizar ML-KEM en aplicaciones específicas se dan en NIST SP 800-227 [1].

656  
657 K-PKE es sólo un componente. El esquema de cifrado de clave pública K-PKE descrito en la Sección 5 no se  
658 utilizará como esquema criptográfico independiente. En cambio, los algoritmos que componen K-PKE solo pueden  
659 usarse como subrutinas en los algoritmos de ML-KEM. En particular, los algoritmos K-PKE.KeyGen (Algoritmo 12),  
660 K-PKE.Encrypt (Algoritmo 13) y K-PKE.Decrypt  
661 (Algoritmo 14) no están aprobados para su uso como esquema de cifrado de clave pública.

662  
663 Implementaciones equivalentes. Cada uno de los tres algoritmos de nivel superior (es decir, ML-KEM.KeyGen, ML-  
664 KEM.Encaps y ML-KEM.Decaps) define una operación matemática particular, asignando cualquier entrada dada a  
665 una salida correspondiente. Por ejemplo, la operación definida por el algoritmo ML-KEM.Encaps toma una matriz  
666 de bytes como entrada y produce dos matrices de bytes como salida.

667 En este estándar, las tres operaciones definidas por ML-KEM.KeyGen, ML-KEM.Encaps y ML-KEM.Decaps se  
668 describen utilizando secuencias particulares de pasos computacionales. Una implementación conforme puede  
669 reemplazar cada una de estas secuencias con una secuencia diferente de pasos, siempre que la operación  
670 resultante sea un proceso equivalente al especificado en este estándar.



671 Por ejemplo, una implementación conforme de la operación de encapsulación debe tener la propiedad de que, para  
672 cualquier conjunto de parámetros y cualquier matriz de bytes de entrada  $ek$ , la distribución de las matrices de bytes  
673 de salida sea idéntica a la distribución [ML-KEM.Encaps\( \$ek\$ \)](#) como se especifica en este estándar.

674  
675 Uso aprobado de la clave secreta compartida. La salida de los algoritmos de encapsulación y decapsulación de ML-  
676 KEM es siempre un valor de 256 bits. En condiciones apropiadas (ver arriba; ver también NIST SP 800-227 [1]),  
677 esta salida es una clave secreta compartida  $K$ . Esta clave secreta compartida  $K$  se puede usar directamente como  
678 clave para criptografía simétrica. Cuando sea necesaria la derivación de claves, las claves simétricas finales se  
679 derivarán de esta clave secreta compartida  $K$  de 256 bits de una manera aprobada, como se especifica en NIST SP  
680 800-108 [14].

681  
682 Generación de aleatoriedad. Tres algoritmos de este estándar requieren la generación de aleatoriedad: [K-](#)  
683 [PKE.KeyGen](#), [ML-KEM.KeyGen](#) y [ML-KEM.Encaps](#). En pseudocódigo, el paso en el que se genera esta aleatoriedad  
684 se indica mediante una declaración de pseudocódigo de la forma  $m \leftarrow$  <sup>ps</sup>  $B_{32}$ . Se debe  
685 generar una nueva cadena de bytes aleatorios para cada invocación de este tipo. Estos bytes aleatorios se  
686 generarán utilizando un RBG aprobado, según lo prescrito en NIST SP 800-90A, NIST SP 800-90B y NIST SP  
687 800-90C [15, 16, 17]. Además, el RBG utilizado deberá tener una seguridad de al menos 128 bits para ML-KEM-512,  
688 al menos 192 bits para ML-KEM-768 y al menos 256 bits para ML-KEM-1024.

691 Validación de entrada. Los algoritmos [ML-KEM.Encaps](#) y [ML-KEM.Decaps](#) requieren validación de  
692 entrada. Los implementadores deberán garantizar que [ML-KEM.Encaps](#) y [ML-KEM.Decaps](#) solo se  
693 ejecuten en entradas validadas, como se describe en la Sección 6. Como se analizó anteriormente, los  
694 implementadores pueden optar por implementar los algoritmos de nivel superior (es decir, [ML-](#)  
695 [KEM.Encaps](#), [ML-KEM.Decaps](#) o [ML-KEM.KeyGen](#)) utilizando cualquier proceso equivalente; la  
696 validación de los insumos se considera parte de este proceso. Una implementación conforme será  
697 equivalente a validar primero la entrada y luego ejecutar el algoritmo apropiado.

698  
699 Destrucción de valores intermedios. Los datos utilizados internamente por los algoritmos KEM en pasos de  
700 cálculo intermedios podrían ser utilizados por un adversario para comprometer la seguridad. Por lo tanto, los  
701 ejecutores se asegurarán de que dichos datos intermedios se destruyan tan pronto como ya no sean necesarios.

702  
703 Sin aritmética de punto flotante. Las implementaciones de ML-KEM no deben utilizar aritmética de punto  
704 flotante. Todos los pasos de división y redondeo de los algoritmos de ML-KEM se pueden realizar dentro  
705 del conjunto de números racionales.

## 706 4. Algoritmos auxiliares

### 707 4.1 Funciones criptográficas

708 Los algoritmos especificados en esta publicación requieren el uso de varias funciones criptográficas.  
 709 Se creará una instancia de cada función mediante una función hash aprobada o una función de salida  
 710 extensible (XOF) aprobada, como se describe a continuación. Las funciones hash y XOF relevantes  
 711 se describen en detalle en FIPS 202 [7]. Se utilizarán de la siguiente manera.

712 SHA3-256 y SHA3-512 son funciones hash con entrada de longitud variable y salida de longitud fija.  
 713 En este estándar, las invocaciones de estas funciones en una entrada  $M$  se indicarán con  $\text{SHA3-256}(M)$   
 714 y  $\text{SHA3-512}(M)$ , respectivamente.

715 SHAKE128 y SHAKE256 son XOF con entrada y salida de longitud variable.  
 716 Las invocaciones de estas funciones en una entrada  $M$  se indicarán de dos maneras diferentes, dependiendo  
 717 de si se conoce la longitud de salida deseada  $\ell$  (en bytes) en el momento de la invocación. Si se conoce  $\ell$  en el  
 718 momento de la invocación, la invocación se indicará como  $\text{SHAKE128}(M, \ell)$  o  $\text{SHAKE256}(M, \ell)$ . Para SHAKE128,  
 719 a veces no se conocerá la longitud de salida en el momento de la invocación; en esos casos, la invocación se  
 720 indicará con  $\text{SHAKE128}(M)$  y la rutina de hash se comportará como un flujo de bytes que proporciona bytes  
 721 pseudoaleatorios (realizando rondas de “compresión” adicionales [7]) hasta que no se necesiten más bytes.  
 722

723 Las funciones anteriores desempeñarán varios roles diferentes en los algoritmos especificados en este estándar.  
 724 Será conveniente asignar una notación específica a cada uno de estos roles, como sigue.

725  
 726 Función pseudoaleatoria (PRF). La función PRF toma un parámetro  $\eta \in \{2, 3\}$ , una entrada de 32 bytes y una  
 727 entrada de 1 byte. Produce una salida de  $(64 \cdot \eta)$  bytes. Se denotará por  $\text{PRF} : \{2, 3\} \times B^{32} \times B \rightarrow B^{64\eta}$ , y se  
 728 instanciará como

$$\text{PRF}_{\eta}(s, b) := \text{SHAKE256}(s \parallel b, 64 \cdot \eta), \quad (4.1)$$

729 donde  $\eta \in \{2, 3\}$ ,  $s \in B^{32}$  y  $b \in B$ . Aquí,  $\eta$  solo se usa para especificar la longitud de salida deseada y no para  
 730 realizar la separación de dominios. Tenga en cuenta que el parámetro de longitud de salida para SHAKE256 se  
 731 especifica en bytes.

732  
 733 Función de salida extensible (XOF). La función XOF toma una entrada de 32 bytes y dos de 1  
 734 entradas de bytes. Produce una salida de longitud variable. Esta función se denotará por  $\text{XOF} : B^{32} \times B \times B \rightarrow B^*$ ,  
 735 y se instanciará como

$$\text{XOF}(p, i, j) := \text{SHAKE128}(p \parallel i \parallel j), \quad (4.2)$$

736 donde  $p \in B^{32}$ ,  $i \in B$  y  $j \in B$ . La función XOF solo se invocará para proporcionar un flujo de bytes  
 737 pseudoaleatorios para el algoritmo de muestreo [SampleNTT](#) (Algoritmo 6). Como [muestraNTT](#)  
 738 realiza un muestreo de rechazo, el número total de bytes necesarios no se conocerá en el momento en que se  
 739 invoque XOF.

740

741 Tres funciones hash. La especificación también hará uso de tres instancias de función hash H, J y G, como  
 742 se muestra a continuación.

743 Las funciones H y J toman cada una una entrada de longitud variable y producen una salida de 32 bytes.  
 744 Se denotarán por  $H : B \rightarrow B_{32}$  y  $J : B \rightarrow B_{32}$ , respectivamente, y se instanciarán como

$$H(s) := \text{SHA3-256}(s) \quad \text{y} \quad J(s) := \text{AGITAR256}(s, 32) \quad (4.3)$$

745 donde  $s \in B$ .

746 La función G toma una entrada de longitud variable y produce dos salidas de 32 bytes. Se denotará por  
 747  $G : B \rightarrow B_{32} \times B_{32}$ . Las dos salidas de G se denotarán, por ejemplo, por  $(a, b) \leftarrow G(c)$ , donde  $a, b$   
 748  $B_{32}$ ,  $c \in B$  y  $G(c) = (a, b)$ . La función G se instanciará como

$$\text{GRAMO}(c) := \text{SHA3-512}(c). \quad (4.4)$$

749

750

## 751 4.2 Algoritmos generales

752 Esta sección especifica una serie de algoritmos que se utilizarán como subrutinas en los principales  
 753 algoritmos de ML-KEM. Para una discusión sobre cómo interpretar el pseudocódigo de estos algoritmos,  
 754 consulte la Sección 2.4.

### 755 4.2.1 Algoritmos de conversión y compresión

756 Esta sección especifica varios algoritmos para convertir entre matrices de bits, matrices de bytes y matrices de  
 757 enteros módulo m. también especifica una determinada operación de compresión para números enteros módulo  
 758 q, así como la correspondiente operación de descompresión.

759

760 Conversión entre bits y bytes. Los algoritmos 2 y 3 convierten entre matrices de bits y matrices  
 761 de bytes. Las entradas de [BitsToBytes](#) y las salidas de [BytesToBits](#) son matrices de bits, y cada  
 762 segmento de 8 bits representa un byte en orden little-endian.

---

#### Algoritmo 2 [BitsToBytes\(b\)](#)

---

Convierte una cadena de bits (de longitud múltiplo de ocho) en una matriz de bytes.

Entrada: matriz de bits  $b \in \{0,1\}^{8 \cdot \ell}$ .

Salida: matriz de bytes  $B \in B_{\ell}$ .

```

1:  $B \leftarrow (0, \dots, 0)$ 
2: para  $(i \leftarrow 0; i < 8\ell; i++)$  2i
3:    $B[i/8] \leftarrow B[i/8] + b[i] \cdot 2^{i \bmod 8}$ 
4: fin para
5: volver B
```

---

---

 Algoritmo 3 [BytesABits\(B\)](#)


---

Realiza lo inverso de [BitsToBytes](#), convirtiendo una matriz de bytes en una matriz de bits.

Entrada: matriz de bytes  $B$   $B \ell$ .

Salida: matriz de bits  $b$   $\{0,1\}^{8 \cdot \ell}$ .

```

para (i ← 0; i < ℓ; i++) para (j ←
2:      0; j < 8; j++)
3:       $b[8i+j] \leftarrow B[i] \bmod 2$ 
4:       $B[jo] \leftarrow B[jo]/2$ 
5:      terminar
para 6: terminar
para 7: regresar b
  
```

---

Compresión y descompresión. Recuerde que  $q = 3329$  y observe que la longitud de bits de  $q$  es 12. Para  $d < 12$ , defina

$$\text{Comprimido} : Z_q \rightarrow Z_{2d} \quad (4.5)$$

$$x \mapsto (2d/q) \cdot x.$$

$$\text{Descomprimido} : Z_{2d} \rightarrow Z_q \quad (4.6)$$

$$y \mapsto (q/2d) \cdot y.$$

763 Tenga en cuenta que los tipos de entrada y salida de estas funciones son números enteros módulo  $m$  (consulte la discusión  
 764 sobre tipos en la Sección 2.4). La división y el redondeo en el cálculo de las funciones anteriores se realizan en el conjunto  
 765 de números racionales. No se deben utilizar cálculos de punto flotante.

766 De manera informal, [Compress](#) descarta bits de orden inferior de la entrada y [Decompress](#) agrega bits de orden inferior  
 767 establecidos en cero. Estos algoritmos satisfacen dos propiedades importantes. Primero, la descompresión seguida de la  
 768 compresión preserva la entrada, es decir,  $\text{Compress}(\text{Decompress}(y)) = y$  para todo  $y \in Z_q$  y todo  $d < 12$ . Segundo, si  $d$   
 769 es grande (es decir, cercano a 12), lo que significa que el número de bits descartados es pequeño: la compresión  
 770 seguida de la descompresión no altera significativamente el valor.  
 771 Específicamente,

$$[\text{Descomprimido}(\text{Comprimido}(x)) - x] \bmod \pm q \leq q/2d + 1 \quad (4.7)$$

772 para todo  $x \in Z_q$  y todo  $d < 12$ .

773

774 Codificación y decodificación. Los algoritmos [ByteEncode](#) (Algoritmo 4) y [ByteDecode](#) (Algoritmo 5) se  
 775 utilizarán para la serialización y deserialización de matrices de números enteros módulo  $m$ . Todas las  
 776 matrices serializadas tendrán una longitud de  $n = 256$ . [ByteEncoded](#) serializa una matriz de enteros de  $d$   
 777 bits en una matriz de  $32 \cdot d$  bytes. [ByteDecoded](#) realiza la operación de deserialización correspondiente,  
 778 convirtiendo una matriz de  $32 \cdot d$  bytes en una matriz de enteros de  $d$  bits.

779 Para la siguiente discusión, es conveniente considerar [ByteDecode](#) y [ByteEncode](#) como conversiones entre números  
 780 enteros y bits. (La conversión entre bits y bytes es sencilla y se realiza utilizando [BitsToBytes](#) y [BytesToBits](#)).

781

782 El rango válido de valores para el parámetro  $d$  es  $1 \leq d \leq 12$ . Las matrices de bits se dividen en segmentos  
 783 de  $d$  bits. En el caso de que  $1 \leq d \leq 11$ , [ByteDecoded](#) convierte cada segmento de  $d$  bits de la entrada en  
 784 un entero módulo  $2d$ , y [ByteEncoded](#) realiza la operación inversa. En este caso la conversión es uno a uno.  
 785

786 El caso  $d = 12$  se trata de manera diferente. En este caso, [ByteEncode12](#) recibe números enteros módulo  $q$   
 787 como entrada, y [ByteDecode12](#) produce números enteros módulo  $q$  como salida. [ByteDecode12](#) convierte cada  
 788 segmento de 12 bits de la entrada en un módulo entero  $2^{12} = 4096$ , y luego reduce el resultado en módulo  $q$ . Esta ya  
 789 no es una operación uno a uno. De hecho, algunos segmentos de 12 bits podrían corresponder a un número entero  
 790 mayor que  $q = 3329$  pero menor que 4096; sin embargo, esto no puede ocurrir con las matrices producidas por  
 791 [ByteEncode12](#). Estos aspectos de [ByteDecode12](#) y [ByteEncode12](#) serán importantes al considerar la validación de la  
 792 clave de encapsulación ML-KEM en la Sección 6.

---

#### Algoritmo 4 [bytes codificados \(F\)](#)

---

Codifica una matriz de enteros de  $d$  bits en una matriz de bytes, para  $1 \leq d \leq 12$ .

Entrada: matriz de enteros  $F \in \mathbb{Z}_{256}^{m \times n}$ , donde  $m = 2d$  si  $d < 12$  y  $m = q$  si  $d = 12$ .

Salida: matriz de bytes  $B \in \{0,1\}^{B32d}$ .

```

1: para ( $i \leftarrow 0$ ;  $i < 256$ ;  $i++$ )  $a \leftarrow$ 
2:    $F[i]$  para  $a \in \mathbb{Z}_{2d}$ 
3:   ( $j \leftarrow 0$ ;  $j < d$ ;  $j++$ )
4:    $b[i \cdot d + j] \leftarrow a \bmod 2$   $a \leftarrow$   $b \in \{0,1\}^{256-d}$ 
5:    $(a - b[i \cdot d + j]) / 2$  final para 7:  $\text{nota } a - b[i \cdot d + j] \text{ siempre es par.}$ 
6:   fin para

8:  $B \leftarrow \text{Bits a bytes (b)}$ 
9: volver  $B$ 
```

---



---

#### Algoritmo 5 [bytes decodificados \(B\)](#)

---

Decodifica una matriz de bytes en una matriz de enteros de  $d$  bits, para  $1 \leq d \leq 12$ .

Entrada: matriz de bytes  $B \in \{0,1\}^{B32d}$ .

Salida: matriz de enteros  $F \in \mathbb{Z}_{256}^{m \times n}$ , donde  $m = 2d$  si  $d < 12$  y  $m = q$  si  $d = 12$ .

```

1:  $b \leftarrow \text{BytesABits}(B)$ 
2: para ( $i \leftarrow 0$ ;  $i < 256$ ;  $i++$ )
3:    $F[i] \leftarrow \sum_{j=0}^{d-1} b[i \cdot d + j] \cdot 2^j \bmod m$ 
4: fin para
5: volver  $F$ 
```

---

### 793 4.2.2 Algoritmos de muestreo

794 Los algoritmos de ML-KEM requieren dos subrutinas de muestreo que se especifican en los algoritmos  
 795 6 y 7. Ambos algoritmos se pueden utilizar para convertir un flujo de bytes uniformemente aleatorios  
 796 en una muestra de alguna distribución deseada. En este estándar, estos algoritmos se invocarán con  
 797 un flujo de bytes pseudoaleatorios como entrada. De ello se deduce que el resultado será una muestra  
 798 de una distribución que es computacionalmente indistinguible de la distribución deseada.

799

800 Muestreo uniforme de representaciones NTT. El algoritmo [SampleNTT](#) (Algoritmo 6) convierte un flujo de bytes en  
 801 un polinomio en el dominio NTT. Si el flujo de entrada consta de bytes uniformemente aleatorios, entonces el  
 802 resultado se extraerá uniformemente al azar de  $T_q$ . La salida es una matriz en  $Z_{256}$ .

803  $q$  que contiene los coeficientes del elemento muestreado de  $T_q$  (ver Sección [2.4](#)).

---

#### Algoritmo 6 [MuestraNTT\(B\)](#)

---

Si la entrada es un flujo de bytes uniformemente aleatorios, la salida es un elemento uniformemente aleatorio de  $T_q$ .

Entrada: flujo de bytes  $B$   $B$ .

Salida: matriz  $1: a$   $Z_q^{256}$ . los coeficientes del NTT de un polinomio

$i \leftarrow 0$

2:  $j \leftarrow 0$  3:

mientras  $j < 256$  haz d1

4:  $\leftarrow B[i] + 256 \cdot (B[i+1] \bmod 16)$

5:  $d2 \leftarrow B[i+1]/16 + 16 \cdot B[i+2]$

6: si  $d1 < q$

7: entonces

8:  $a[j] \leftarrow d1$

9:  $j \leftarrow j$

10:  $+1$  final si si  $d2 < q$  y  $j < 256$

11: entonces

12:  $a[j] \leftarrow d2$

13:  $j \leftarrow j$

14:  $+1$  final si

$i \leftarrow i+3$  15: final

mientras 16: regresar  $a$

---



---

#### Algoritmo 7 [MuestraPolyCBD \$\_q\$ \(B\)](#)

---

Si la entrada es un flujo de bytes uniformemente aleatorios, genera una muestra de la distribución  $D_q(R_q)$ .

Entrada: matriz de bytes  $B$   $B_{64q}$ .

Salida: matriz  $f$   $Z_{256}^q$ : los coeficientes del polinomio muestreado

$b \leftarrow \text{BytesABits}(B)$

2: para ( $i \leftarrow 0$ ;  $i < 256$ ;  $i++$ )  $x \leftarrow$

3:  $\sum_{j=0}^{q-1} b[2iq + j]$

4:  $y \leftarrow \sum_{j=0}^{q-1} b[2iq + \eta + j]$

5:  $f[i] \leftarrow x - y \bmod q$  6: fin de

7: retorno  $f$

---

804

805 Muestreo a partir de la distribución binomial centrada. ML-KEM hace uso de una distribución  
 806 especial  $D_q(R_q)$  de polinomios en  $R_q$  con coeficientes pequeños. Estos polinomios a veces

denominarse “errores” o “ruido”. La distribución está parametrizada por un número entero  $\eta \in \{2,3\}$ . Para muestrear un polinomio a partir de  $D_\eta(R_q)$ , cada uno de sus coeficientes se muestrea de forma independiente a partir de una determinada distribución binomial centrada (CBD) en  $Z_q$ . El algoritmo [SamplePolyCBD](#) (Algoritmo 7) muestrea la matriz de coeficientes de un polinomio  $f \in R_q$  según la distribución  $D_\eta(R_q)$ , siempre que su entrada sea un flujo de bytes uniformemente aleatorios.

### 4.3 La transformada de la teoría de números

La transformada de teoría de números (o NTT) puede verse como una versión exacta y especializada de la transformada discreta de Fourier. En el caso de ML-KEM, el NTT se utiliza para mejorar la eficiencia de la multiplicación en el anillo  $R_q$ . Recuerde que  $R_q$  es el anillo  $Z_q[X]/(X^n + 1)$  formado por polinomios de la forma  $f = f_0 + f_1X + \dots + f_{255}X^{255}$  donde  $f_j \in Z_q$  para todo  $j$ , equipado con aritmética módulo  $X^n + 1$ .

El anillo  $R_q$  es naturalmente isomorfo a otro anillo, denominado  $T_q$ , que es una suma directa de 128 extensiones cuadráticas de  $Z_q$ . El NTT es un isomorfismo computacionalmente eficiente entre estos:  $\text{NTT}(f)$  del anillo a dos anillos. Al ingresar un polinomio  $f \in R_q$ , el NTT genera un elemento  $f \in T_q$ , donde  $f \in T_q$  se llama “representación NTT” de  $f$ . La propiedad de isomorfismo implica que

$$f \times_{R_q} g = \text{NTT}^{-1}(\text{NTT}(f) \times_{T_q} \text{NTT}(g)), \quad (4.8)$$

donde  $\times_{R_q}$  y  $\times_{T_q}$  denotan multiplicación en  $R_q$  y  $T_q$ , respectivamente. Además, dado que  $T_q$  es un producto de 128 anillos, cada uno de los cuales consta de polinomios de grado uno, la operación  $\times_{T_q}$  es mucho más eficiente que la operación  $\times_{R_q}$ . Por estas razones, el NTT se considera una parte integral de ML-KEM y no simplemente una optimización.

Como los anillos  $R_q$  y  $T_q$  tienen una estructura de espacio vectorial sobre  $Z_q$ , el tipo de datos abstracto más natural para representar elementos de cualquiera de estos anillos es  $Z_q^n$ . Por esta razón, la elección de la estructura de datos para las entradas y salidas de [NTT](#) y [NTT-1](#) son matrices de longitud  $n$  de números enteros módulo  $q$ ; Se entiende que estas matrices representan elementos de  $T_q$  o  $R_q$ , respectivamente (ver Sección 2.4). Ambos [NTT](#) y [NTT-1](#) se puede calcular in situ. De hecho, los algoritmos 8 y 9 demuestran un medio eficiente para calcular [NTT](#) y [NTT-1](#) in situ. Sin embargo, para mayor claridad en la comprensión de la distinción de los objetos algebraicos antes y después de la conversión, los algoritmos se escriben con entradas y salidas explícitas.

La estructura matemática de una NTT simple. Recuerde que, en ML-KEM,  $q$  es el primo  $3329 = 28 \cdot 13 + 1$  y  $n = 256$ . Hay 128 raíces unitarias primitivas 256 y ninguna raíz unitaria primitiva 512 en  $Z_q$ . Tenga en cuenta que  $\zeta = \zeta_{256}$  es una raíz primitiva número 256 del módulo unitario  $q$ . Así  $\zeta^{128} = -1$ .

Defina [BitRev7\(i\)](#) como el número entero representado mediante la inversión de bits del valor de 7 bits sin signo que corresponde al número entero de entrada  $i \in \{0, \dots, 127\}$ .

El polinomio  $X^{256} + 1$  se factoriza en 128 polinomios de grado 2 módulo  $q$  de la siguiente manera:

$$X^{256} + 1 = \prod_{k=0}^{127} (X^2 - \zeta^{2^{\text{BitRev7}(k)+1}}). \quad (4.9)$$

842 Por lo tanto,  $R_q := \mathbb{Z}_q[X]/(X^{256} + 1)$  es isomorfo a una suma directa de 128 campos de extensión cuadrática de  
 843  $\mathbb{Z}_q$ , denotados  $T_q$ . En concreto, este anillo tiene la estructura

$$T_q := \mathbb{Z}_q[X] / \prod_{k=0}^{127} (X^2 - \zeta^{2\text{BitRev7}(k)+1}) \quad (4.10)$$

844 Así, la representación NTT  $f$  de un polinomio  $f$  en  $R_q$  es el vector que consta de  
 845 residuos de grado uno correspondientes:

$$F := (f \bmod (X^2 - \zeta^{2\text{BitRev7}(0)+1}), \dots, f \bmod (X^2 - \zeta^{2\text{BitRev7}(127)+1})) \quad (4.11)$$

846 En los algoritmos siguientes,  $f$  se almacena como una matriz de 256 números enteros módulo  $q$ . Específicamente,

$$f \bmod (X^2 - \zeta^{2\text{BitRev7}(i)+1}) = f^{[2i]} + f^{[2i+1]}X.$$

847 para  $i$  de 0 a 127.

---

#### Algoritmo 8 NTT( $f$ )

---

Calcula la representación NTT  $f$  del polinomio dado  $f$  en  $R_q$ .  
 Entrada: matriz  $f \in \mathbb{Z}_q^{256}$ . los coeficientes del polinomio de entrada  
 Salida: matriz  $f \in \mathbb{Z}_q^{256}$ . los coeficientes de NTT del polinomio de entrada calculará

```

1:  $f \leftarrow f$ 
2:  $k \leftarrow 1$ 
3: para ( $len \leftarrow 128$ ;  $len \geq 2$ ;  $len \leftarrow len/2$ ) para
4:   ( $inicio \leftarrow 0$ ;  $inicio < 256$ ;  $inicio \leftarrow inicio + 2 \cdot len$ )
5:      $zeta \leftarrow \zeta^{2\text{BitRev7}(k)} \bmod q$ 
6:      $k \leftarrow k + 1$ 
7:     for ( $j \leftarrow inicio$ ;  $j < inicio + len$ ;  $j++$ )  $t \leftarrow zeta$ 
8:        $f^{[j + len]} \leftarrow f^{[j + len]} \cdot t$ 
9:        $f^{[j]} \leftarrow f^{[j]} - t$ 
10:       $f^{[j]} \leftarrow f^{[j]} + t$ 
11:     fin por
12:   fin por
13: fin por
14: volver  $f$ 

```

pasos 8-10 realizados módulo  $q$

---

848  
 849 Los algoritmos ML-KEM NTT. En el algoritmo 8 se describe un algoritmo para NTT. En el algoritmo 9 se  
 850 describe un algoritmo para NTT inverso. Estos dos algoritmos están sobrecargados en este estándar. Primero,  
 851 representan la transformación utilizada para mapear elementos de  $R_q$  a elementos de  $T_q$  (usando NTT) y  
 852 viceversa (usando NTT<sup>-1</sup>). En segundo lugar, representan la transformación coordinada de estructuras sobre  
 853 esos anillos; Específicamente, asignan matrices/vectores con entradas en  $R_q$  a matrices/vectores con entradas  
 854 en  $T_q$  (usando NTT) y viceversa (usando NTT<sup>-1</sup>).



---

 Algoritmo 9  $\text{NTT-1}(f^*)$ 


---

Calcula el polinomio  $f^*$  en  $\mathbb{R}_q$  correspondiente a la representación NTT dada  $f$  en  $\mathbb{T}_q$ .

Entrada: matriz  $f$  de  $256 \times 1$  los coeficientes de la representación NTT de entrada

Salida: matriz  $f^*$  de  $256 \times 1$  los coeficientes del NTT inverso de la entrada se calcularán in situ en una copia de la matriz de entrada

```

1:  $f \leftarrow f$ 
2:  $k \leftarrow 127$ 
3: para ( $\text{len} \leftarrow 2$ ;  $\text{len} \leq 128$ ;  $\text{len} \leftarrow 2 \cdot \text{len}$ ) para
4:   ( $\text{inicio} \leftarrow 0$ ;  $\text{inicio} < 256$ ;  $\text{inicio} \leftarrow \text{inicio} + 2 \cdot \text{len}$ )
5:      $\text{zeta} \leftarrow \zeta^{\text{BitRev7}(k) \bmod q}$ 
6:      $k \leftarrow k - 1$ 
7:     para ( $j \leftarrow \text{inicio}$ ;  $j < \text{inicio} + \text{len}$ ;  $j++$ )  $t \leftarrow f[j]$ 
8:        $f[j] \leftarrow t + f[j + \text{len}]$ 
9:        $f[j + \text{len}] \leftarrow \text{zeta} \cdot (f[j + \text{len}] - t)$ 
10:    fin por
11:  fin por
12:  fin por
13: fin por 14:
 $f \leftarrow f \cdot 3303 \bmod q$ 
retorno  $f$ 

```

pasos 9-10 realizados módulo  $q$

multiplica cada entrada por  $3303 \equiv 128^{-1} \bmod q$

---

## 855 4.3.1 Multiplicación en el Dominio NTT

856 Como se analizó en la Sección 2.4, la suma y multiplicación escalar de elementos de  $\mathbb{T}_q$  es sencilla: se  
 857 puede hacer usando las operaciones aritméticas de coordenadas correspondientes en los conjuntos de  
 858 coeficientes. Esta sección describe cómo realizar la operación del anillo restante (es decir, la multiplicación en  $\mathbb{T}_q$ ).

859 Recuerde de (4.11) que  $f^*$  en  $\mathbb{T}_q$  es un vector de polinomios cuadráticos de módulo de residuos uno de grado 1.  
 860 Algebraicamente, la multiplicación en el anillo  $\mathbb{T}_q$  consiste en una multiplicación independiente en cada una de las  
 861 128 coordenadas respecto del módulo cuadrático de esa coordenada. Específicamente, la coordenada  $i$ -ésima en  
 862  $\mathbb{T}_q$  del producto  $h^* = f^* \times_{\mathbb{T}_q} g^*$  se determina mediante el cálculo

$$h[2i+1]X = (f^*[2i] + f^*[2i+1]X)(g^*[2i] + g^*[2i+1]X) \bmod (X^2 - \zeta^{2\text{BitRev7}(i)+1} h[2i]). \quad (4.12)$$

863 Por tanto, se puede calcular el producto de dos elementos de  $\mathbb{T}_q$  utilizando el algoritmo [MultiplyNTTs](#)  
 864 (Algoritmo 10). Tenga en cuenta que [MultiplyNTTs](#) utiliza [BaseCaseMultiply](#) (Algoritmo 11) como subrutina.  
 865 Como se analizó en la Sección 2.4, [MultiplyNTTs](#) permite realizar operaciones aritméticas algebraicas  
 866 lineales con matrices y vectores con entradas en  $\mathbb{T}_q$ .

---

**Algoritmo 10** **Multiplicar NTT**( $f^{\wedge}, g^{\wedge}$ )
 

---

Calcula el producto (en el anillo  $T_q$ ) de dos representaciones NTT.

Entrada: dos matrices  $f^{\wedge}$  y  $g^{\wedge}$   $\mathbb{Z}_{256}^q$  los coeficientes de dos representaciones NTT los

Producción: Una matriz  $h^{\wedge}$   $\mathbb{Z}_q^{256}$  coeficientes del producto de las entradas

1: para ( $i \leftarrow 0$ ;  $i < 128$ ;  $i++$ )

2:  $h^{\wedge}[2i] = \text{BaseCaseMultiply}(f^{\wedge}[2i], f^{\wedge}[2i+1], g^{\wedge}[2i], g^{\wedge}[2i+1], \zeta^{2\text{BitRev7}(i)+1} (h) 3)$

---



---

**Algoritmo 11** **BaseCaseMultiply**( $a_0, a_1, b_0, b_1, \gamma$ )
 

---

Calcula el producto de dos polinomios de grado uno con respecto a un módulo cuadrático.

Entrada:  $a_0, a_1, b_0, b_1 \in \mathbb{Z}_q$  los coeficientes de  $a_0 + a_1X$  y  $b_0 + b_1X$

Entrada:  $\gamma \in \mathbb{Z}_q$  el módulo es  $X^2 - \gamma$

Salida:  $c_0, c_1 \in \mathbb{Z}_q$  1:  $c_0$  los coeficientes del producto de los dos polinomios pasos 1-2

$\leftarrow a_0 \cdot b_0 + a_1 \cdot b_1 \cdot \gamma$  2:  $c_1 \leftarrow$  realizados módulo  $q$

$a_0 \cdot b_1 + a_1 \cdot b_0$  3: devuelve

$c_0, c_1$

---

## 867 5. El esquema de componentes K-PKE

868 Esta sección describe el esquema de componentes K-PKE. Como se analizó en la Sección 3.3, K-PKE no está  
 869 aprobado para su uso de forma independiente. Sirve únicamente como una colección de subrutinas para su  
 870 uso en los algoritmos del esquema aprobado ML-KEM, como se describe en la Sección 6.

871 K-PKE consta de tres algoritmos:

- 872 1. Generación de claves ([K-PKE.KeyGen](#));
- 873 2. Cifrado ([K-PKE.Encrypt](#));
- 874 3. Descifrado ([K-PKE.Decrypt](#)).

875 Cuando se crea una instancia de K-PKE como parte de ML-KEM, K-PKE hereda el conjunto de parámetros  
 876 seleccionado para ML-KEM. Cada conjunto de parámetros especifica valores numéricos para cada parámetro.  
 877 Si bien  $n$  es siempre 256 y  $q$  es siempre 3329, los valores de los parámetros restantes  $k$ ,  $\eta_1$ ,  $\eta_2$ ,  $d_u$  y  $d_v$  varían  
 878 entre los tres conjuntos de parámetros. Los parámetros individuales y los conjuntos de parámetros se describen  
 879 en la Sección 7.

880 Los algoritmos de esta sección no realizan ninguna validación de entrada. Esto se debe a que sólo se invocan  
 881 como subrutinas de los principales algoritmos ML-KEM. Los algoritmos de ML-KEM realizan la validación de  
 882 entradas según sea necesario; también garantizan que todas las entradas a los algoritmos K-PKE (invocadas  
 883 como subrutinas) serán válidas.

884 Cada uno de los algoritmos de K-PKE a continuación va acompañado de una breve descripción informal en texto.  
 885 Para simplificar, esta descripción se escribe en términos de vectores y matrices cuyas entradas son  
 886 elementos de  $R_q$ . En el algoritmo real, la mayoría de los cálculos ocurren en el dominio NTT para  
 887 mejorar la eficiencia de la multiplicación. Los vectores y matrices relevantes tendrán entonces  
 888 entradas en  $T_q$ . La aritmética algebraica lineal con dichos vectores y matrices (ver, por ejemplo, la  
 889 línea 19 de [K-PKE.KeyGen](#)) se realiza como se describe en las Secciones 2.4 y 4.3.1. La clave de  
 890 cifrado y descifrado de K-PKE también se almacena en formato NTT.

### 891 5.1 Generación de claves K-PKE

892 El algoritmo de generación de claves [K-PKE.KeyGen](#) de K-PKE (Algoritmo 12) no requiere entrada, requiere  
 893 aleatoriedad y genera una clave de cifrado  $ek_{PKE}$  y una clave de descifrado  $dk_{PKE}$ . Desde el punto de vista  
 894 típico del cifrado de clave pública, la clave de cifrado puede hacerse pública, mientras que la clave de descifrado  
 895 y la aleatoriedad deben permanecer privadas. Este será el caso también en el contexto de esta norma. De  
 896 hecho, la clave de cifrado de K-PKE servirá como clave de encapsulación de ML-KEM (consulte [ML-](#)  
 897 [KEM.KeyGen](#) a continuación) y, por lo tanto, puede hacerse pública; Mientras tanto, la clave de descifrado y la  
 898 aleatoriedad de [K-PKE.KeyGen](#) deben permanecer privadas, ya que pueden usarse para realizar la  
 899 desencapsulación en ML-KEM.

900  
 901 Descripción informal. La clave de descifrado de [K-PKE.KeyGen](#) es un vector  $s$  de longitud  $k$  de elementos de  
 902  $R_q$ , es decir,  $s = (s_1, \dots, s_k)$ . En términos generales,  $s$  es un conjunto de variables secretas, mientras que la clave  
 903 de cifrado es una colección de ecuaciones lineales "ruidosas"  $(A, As+e)$  en las variables secretas  $s$ . Las  
 904 filas de la matriz  $A$  forman los coeficientes de la ecuación. Esta matriz se genera de forma pseudoaleatoria  
 905 utilizando XOF, y solo la semilla se almacena en la clave de cifrado. El secreto  $s$  y el "ruido"  $e$  se muestrean del

---

**Algoritmo 12 [K-PKE.KeyGen\(\)](#)**


---

Genera una clave de cifrado y una clave de descifrado correspondiente.

Salida: clave de cifrado  $ek_{PKE}$  B384k+32.

Salida: clave de descifrado  $dk_{PKE}$  B384k.

```

1:  $re \leftarrow \text{B32}$  d tiene 32 bytes aleatorios (consulte la Sección
3.3) expandirse a dos semillas pseudoaleatorias de 32 bytes
2:  $(p, \sigma) \leftarrow \text{GRAMO}(d)$ 
3:  $N \leftarrow 0$ 
4: para  $(i \leftarrow 0; i < k; i++)$  para generar matriz  $A^{\wedge}$   $(\mathbb{Z}_{256}^q)^{k \times k}$ 
5:    $(j \leftarrow 0; j < k; j++)$ 
6:      $A^{\wedge}[i, j] \leftarrow \text{MuestraNTT}(\text{XOF}(p, i, j))$  cada entrada de  $A^{\wedge}$  uniforme en el dominio NTT
7:   final para
8: final para
9: para  $(i \leftarrow 0; i < k; i++)$  generar  $s$   $(\mathbb{Z}_{256}^q)^k$ 
10:    $s[i] \leftarrow \text{MuestraPolyCBD}_{\eta_1}(\text{PRF}_{\eta_1}(\sigma, N))$   $s[i]$   $\mathbb{Z}_{256}^q$  muestreado de CBD
11:  $N \leftarrow N + 1$  12: fin
de
13: para  $(i \leftarrow 0; i < k; i++)$  generar  $e$   $(\mathbb{Z}_{256}^q)^k$ 
14:    $e[i] \leftarrow \text{MuestraPolyCBD}_{\eta_1}(\text{PRF}_{\eta_1}(\sigma, N))$   $e[i]$   $\mathbb{Z}_{256}^q$  muestreado de CBD
15:  $N \leftarrow N + 1$  16: fin
de
17:  $s^{\wedge} \leftarrow \text{NTT}(s)$  NTT se ejecuta k veces (una vez por cada coordenada de s)
18:  $e^{\wedge} \leftarrow \text{NTT}(e)$  19: NTT se ejecuta k
 $t^{\wedge} \leftarrow A^{\wedge} \circ s^{\wedge} + e^{\wedge}$  20: veces sistema lineal ruidoso en el dominio
 $ek_{PKE} \leftarrow \text{ByteEncode12}(t^{\wedge})$  NTT  $\text{ByteEncode12}$  se ejecuta k veces; incluir semilla 21:
 $dk_{PKE} \leftarrow \text{ByteEncode12}(s^{\wedge})$  22: para  $A^{\wedge}$   $\text{ByteEncode12}$  se ejecuta k veces
return  $(ek_{PKE}, dk_{PKE})$ 

```

---

906 Distribución binomial centrada utilizando aleatoriedad expandida desde una semilla vía PRF.

907 Una vez generados  $A$ ,  $s$  y  $e$ , se realiza el cálculo de la parte final  $t = As + e$  de la clave de cifrado.

908 En [K-PKE.KeyGen](#), la elección del conjunto de parámetros afecta la longitud del secreto  $s$  (a través del parámetro  $k$ )

909 y, como consecuencia, los tamaños del vector de ruido  $e$  y la matriz pseudoaleatoria  $A$ . La elección del conjunto de

910 parámetros también afecta la distribución del ruido (a través del parámetro  $\eta_1$ ) utilizado para muestrear las entradas

911 de  $s$  y  $e$ .

## 912 5.2 Cifrado K-PKE

913 El algoritmo de cifrado [K-PKE.Encrypt](#) de K-PKE (Algoritmo 13) toma una clave de cifrado  $ek_{PKE}$  y un

914 texto sin formato  $m$  como entrada, requiere aleatoriedad  $r$  y genera un texto cifrado  $c$ . Si bien muchos

915 algoritmos especificados en este documento requieren aleatoriedad, solo la descripción de [K-PKE.Encrypt](#)

916 interpreta esta aleatoriedad como parte de la entrada. Esto se debe a que ML-KEM necesitará invocar [K-PKE.Encrypt](#)

917 con una elección específica de aleatoriedad (consulte el Algoritmo 16 para obtener más detalles).

918

919 Descripción informal. El algoritmo [K-PKE.Encrypt](#) comienza extrayendo el vector  $t$  y la semilla  
 920 de la clave de cifrado. Luego, la semilla se expande para regenerar la matriz  $A$ , de la misma  
 921 manera que se hizo en [K-PKE.KeyGen](#). Si  $t$  y  $A$  se derivan correctamente de una clave de  
 922 cifrado producida por [K-PKE.KeyGen](#), entonces son iguales a sus valores correspondientes  
 923 en [K-PKE.KeyGen](#).

---

Algoritmo 13 [K-PKE.Encrypt](#)( $ekPKE, m, r$ )

---

Utiliza la clave de cifrado para cifrar un mensaje de texto sin formato utilizando la aleatoriedad  $r$ .

Entrada: clave de cifrado  $ekPKE$   $B_{384k+32}$ .

Entrada: mensaje  $m$   $B_{32}$ .

Entrada: aleatoriedad de cifrado  $r$   $B_{32}$ .

Salida: texto cifrado  $c$   $B_{32}(duk+dv)$ .

1:  $N \leftarrow 0$  2:

$\hat{t} \leftarrow \text{ByteDecode12}(ekPKE[0 : 384k])$

3:  $p \leftarrow ekPKE[384k : 384k + 32]$  4: para

$(i \leftarrow 0; i < k; i++)$  para  $(j \leftarrow 0; j$

$< k; j++)$  5:  $A^{\wedge}[i, j] \leftarrow$

$\text{SampleNTT}(\text{XOF}(p, y_{0,j}))$

7: final para

8: final para

9: para  $(i \leftarrow 0; i < k; i++)$

10:  $r[i] \leftarrow \text{MuestraPolyCBD}_{\eta 1}(\text{PRF}_{\eta 1}(r, N))$

11:  $N \leftarrow N + 1$  12: final

para 13: para

$(i \leftarrow 0; i < k; i++)$

14:  $e1[i] \leftarrow \text{MuestraPolyCBD}_{\eta 2}(\text{PRF}_{\eta 2}(r, N))$

15:  $N \leftarrow N + 1$  16: fin de

17:  $e2 \leftarrow \text{SamplePolyCBD}_{\eta 2}(\text{PRF}_{\eta 2}(r, N))$  18:  $r^{\wedge} \leftarrow$

$\text{NTT}(r)$  19:  $u \leftarrow$

$\text{NTT}^{-1}(A^{\wedge} \circ r^{\wedge}) + e1$  20:  $\mu \leftarrow$

$\text{Descomprimir1}(\text{ByteDecode1}(m))$

21:  $v \leftarrow \text{NTT}^{-1}(\hat{t} \circ r^{\wedge}) + e2 + \mu$  22:  $c1$

$\leftarrow \text{ByteEncodedu}(\text{Compressdu}(u))$  23:  $c2 \leftarrow$

$\text{ByteEncodedv}(\text{Compressdv}(v))$

24: devolver  $c \leftarrow (c1 \parallel c2)$

---

extraer semilla de 32 bytes de  $ekPKE$   
 regenerar matriz  $A$   $(Z_{256})^{k \times k}$

generar  $r$   $(Z_{256})^k$   
 $r[i]$   $Z_{256}$  muestreado de CBD

generar  $e1$   $(Z_{256})^k$   
 $e1[i]$   $Z_{256}$  muestreado de CBD

muestra  $e2$   $Z_{256}$  de CBD  
 $\text{NTT}$  se ejecuta  $k$  veces  
 $\text{NTT}^{-1}$  se ejecuta  $k$  veces

codificar texto plano  $m$  en polinomio  $v$ .

$\text{ByteEncodedu}$  se ejecuta  $k$  veces

924 Recuerde de la descripción de la generación de claves que el par  $(A, t = A s + e)$  puede considerarse como un sistema de  
 925 ecuaciones lineales ruidosas en las variables secretas  $s$ . Se puede generar una ecuación lineal ruidosa adicional en las  
 926 mismas variables secretas (sin conocer  $s$ ) eligiendo una combinación lineal aleatoria de las ecuaciones ruidosas en el  
 927 sistema  $(A, t)$ . Entonces se puede codificar información en el "término constante" (es decir, la entrada que es una  
 928 combinación lineal de entradas de  $t$ ) de dicha ecuación combinada. Esta información puede luego ser descifrada por una  
 929 parte en posesión del art. Por ejemplo, se podría codificar un solo bit decidiendo si alterar significativamente o no el  
 930 término constante,

931 generando así una ecuación casi correcta (correspondiente al valor del bit descifrado de 0) o una ecuación que dista  
 932 mucho de ser correcta (correspondiente al valor del bit descifrado de 1). En el caso de K-PKE, el término constante es  
 933 un polinomio con 256 coeficientes, por lo que se puede codificar más información: un bit en cada coeficiente.  
 934

935 Para ello, [K-PKE.Encrypt](#) procede generando un vector  $r = R_k$  y términos de ruido  $e_1 = R_k$  y  
 936  $e_2 = R_q$ , todos los cuales se muestrean a partir de la distribución binomial centrada utilizando  
 937 pseudoaleatoriedad expandida (a través de PRF) a partir de la aleatoriedad de entrada  $r$ . Luego se calcula la  
 938 “nueva ecuación ruidosa” que (hasta algunos detalles) se calcula mediante  $(u, v) \leftarrow (A \cdot r + e_1, t \cdot r + e_2)$ . Luego  
 939 se agrega una codificación  $\mu$  apropiada del mensaje de entrada  $m$  al término  $t \cdot r + e_2$ . Finalmente, el par  $(u,$   
 940  $v)$  se comprime, se serializa en una matriz de bytes y se genera como texto cifrado.

## 941 5.3 Descifrado K-PKE

942 El algoritmo de descifrado [K-PKE.Decrypt](#) de K-PKE (Algoritmo 14) toma una clave de descifrado  $dkPKE$   
 943 y un texto cifrado  $c$  como entrada, no requiere aleatoriedad y genera un texto sin formato  $m$ .

944  
 945 Descripción informal. El algoritmo [K-PKE.Decrypt](#) comienza calculando la “ecuación ruidosa”  $(u, v)$  subyacente al texto  
 946 cifrado  $c$ , como se explica en la descripción de [K-PKE.Encrypt](#). Aquí se puede pensar en  $u$  como los coeficientes de la  
 947 ecuación y en  $v$  como el término constante. Recuerde que la clave de descifrado  $dkPKE$  contiene el vector de variables  
 948 secretas  $s$ . Por tanto, el algoritmo de descifrado puede utilizar la clave de descifrado para calcular el término constante  
 949 verdadero  $v' = s \cdot u$  y luego calcular  $v - v'$ . El  
 950 algoritmo de descifrado finaliza decodificando el mensaje de texto plano  $m$  de  $v - v'$  y generando  $m$ .

---

### Algoritmo 14 [K-PKE.Decrypt](#)( $dkPKE, c$ )

---

Utiliza la clave de descifrado para descifrar un texto cifrado.

Entrada: clave de descifrado  $dkPKE$  B384k.

Entrada: texto cifrado  $c$  B32(duk+dv) ·

Salida: mensaje  $m$  B32. 1:  $c_1$

1:  $c \leftarrow c[0: 32duk]$

2:  $c_2 \leftarrow c[32duk : 32(duk + dv)]$

3:  $u \leftarrow \text{Descompress}_{dv}(\text{ByteDecoded}_{dv}(c_2))$  4:  $v \leftarrow \text{ByteDecoded}_{du}$  invocado  $k$  veces

5:  $s^* \leftarrow \text{ByteDecode}_{12}(dkPKE)$

6:  $w \leftarrow v - NTT^{-1}(s^* \circ NTT(u))$  7:  $m \leftarrow NTT^{-1}$  y  $NTT$  invocados  $k$  veces

8: devolver  $m$  decodificar texto plano  $m$  a partir del polinomio  $v$

---

## 951 6. El mecanismo de encapsulación de claves ML-KEM

952 El esquema ML-KEM consta de tres algoritmos:

953 1. Generación de claves ([ML-KEM.KeyGen](#))

954 2. Encapsulación ([ML-KEM.Encaps](#))

955 3. Decapsulación ([ML-KEM.Decaps](#))

956 Para crear una instancia de ML-KEM, se debe seleccionar un conjunto de parámetros, cada uno de los cuales  
 957 está asociado con una compensación particular entre seguridad y rendimiento. Los tres conjuntos de parámetros  
 958 posibles se denominan ML-KEM-512, ML-KEM-768 y ML-KEM-1024 y se describen en detalle en la Tabla 2 de  
 959 la Sección 7. Cada conjunto de parámetros asigna valores numéricos específicos a los parámetros individuales  
 960  $n$ ,  $q$ ,  $k$ ,  $\eta_1$ ,  $\eta_2$ ,  $du$  y  $dv$ . Si bien  $n$  es siempre 256 y  $q$  es siempre 3329, los parámetros restantes varían entre los  
 961 tres conjuntos de parámetros. Los implementadores deben asegurarse de que los tres algoritmos de ML-KEM  
 962 enumerados anteriormente solo se invoquen con un conjunto de parámetros válido y que este conjunto de  
 963 parámetros se seleccione de manera adecuada para la aplicación deseada. Además, los algoritmos [ML-KEM.Encaps](#)  
 964 y [ML-KEM.Decaps](#) requieren validación de entradas, como se analiza a continuación.

### 965 6.1 Generación de claves ML-KEM

966 El algoritmo de generación de claves [ML-KEM.KeyGen](#) para ML-KEM (Algoritmo 15) no acepta entradas,  
 967 requiere aleatoriedad y produce una clave de encapsulación y una clave de decapsulación. Si bien la clave  
 968 de encapsulación se puede hacer pública, la clave de decapsulación debe permanecer privada.

969  
 970 Descripción informal. La subrutina principal de [ML-KEM.KeyGen](#) es el algoritmo de generación de claves de K-  
 971 PKE (Algoritmo 12). La clave de encapsulación ML-KEM es simplemente la clave de cifrado de K-PKE. La clave  
 972 de desencapsulación de ML-KEM se compone de la clave de descifrado de K-PKE, la clave de encapsulación, un  
 973 hash de la clave de encapsulación y un valor pseudoaleatorio de 32 bytes. Este valor aleatorio se utilizará en el  
 974 mecanismo de "rechazo implícito" del algoritmo de decapsulación (Algoritmo 17).  
 975

---

#### Algoritmo 15 [ML-KEM.KeyGen\(\)](#)

---

Genera una clave de encapsulación y una clave de decapsulación correspondiente.

Salida: Clave de encapsulación  $ek$   $B^{384k+32}$ .

Salida: Clave de decapsulación  $dk$   $B^{768k+96}$ .

\$ 1:  $z \leftarrow B^{32}$

$z$  tiene 32 bytes aleatorios (consulte la Sección 3.3)

2:  $(ek_{PKE}, dk_{PKE}) \leftarrow K\text{-}PKE.KeyGen()$  3:  $ek \leftarrow$

generación de clave de ejecución para K-PKE

$ek_{PKE}$  4:  $dk \leftarrow$

La clave de encapsulación de KEM es solo la clave de cifrado de PKE

$(dk_{PKE} \parallel ek \parallel H(ek) \parallel z)$  5: retorno

La clave de decaptación de KEM incluye la clave de descifrado de PKE

$(ek, dk)$

---

## 976 6.2 Encapsulación ML-KEM

977 El algoritmo de encapsulación [ML-KEM.Encaps](#) de ML-KEM (Algoritmo 16) acepta una clave de  
978 encapsulación como entrada, requiere aleatoriedad y genera un texto cifrado y una clave compartida.

979  
980 Validación de entrada. Para validar una determinada entrada<sup>1</sup>  $eke$  en [ML-KEM.Encaps](#), realice lo siguiente  
981 cheques.

982 1. (Verificación de tipo). Si  $eke$  no es una matriz de bytes de longitud  $384k + 32$  para el valor de  $k$  especificado  
983 por el conjunto de parámetros correspondiente, la entrada no es válida.

984 2. (Verificación del módulo). Realice el cálculo  $ek \leftarrow \text{ByteEncode12}(\text{ByteDecode12}(eke))$ . Si la entrada no es válida.  
985  $ek \neq eke$ , (Ver Sección 4.2.1.)

986 Si cualquiera de las comprobaciones anteriores declara que la entrada no es válida, entonces [ML-KEM.Encaps](#) no se  
987 realizará con la entrada  $eke$ . En su lugar, se deben tomar medidas apropiadas para la aplicación para cancelar. Si se pasan  
988 las dos comprobaciones anteriores (es decir, ninguna de ellas declara que la entrada no es válida), entonces la entrada se  
989 considera válida y [ML-KEM.Encaps](#) se puede realizar con la entrada  $ek = eke$ . Es importante tener

990 en cuenta que la entrada anterior El proceso de validación no garantiza que  $eke$  sea una salida real de [ML-KEM.KeyGen](#).  
991 De hecho, la capacidad de garantizar eso (sin utilizar la clave de decapsulación) violaría el supuesto de seguridad.  
992

993 Recuerde que, como se analizó en la Sección 3.3, las implementaciones solo son necesarias para reproducir correctamente  
994 el comportamiento de entrada-salida de los algoritmos de nivel superior. En el caso de [ML-KEM.Encaps](#), esto significa que  
995 una implementación puede realizar cualquier proceso equivalente a ejecutar las comprobaciones 1 y 2 anteriores y luego  
996 ejecutar el algoritmo 16. (Por ejemplo, la segunda verificación podría realizarse durante la ejecución de [ByteDecode12](#) en la  
997 línea 2 de [K-PKE.Encrypt](#).)

---

### Algoritmo 16 [ML-KEM.Encaps\(ek\)](#)

---

Utiliza la clave de encapsulación para generar una clave compartida y un texto cifrado asociado.

Entrada validada: clave de encapsulación  $ek$   $B^{384k+32}$ .

Salida: clave compartida  $K$   $B^{32}$ .

Salida: texto cifrado  $c$   $B^{32}(\text{duk}+\text{dv})$ .

1: metro  $\xleftarrow{r} B^{32}$

$m$  son 32 bytes aleatorios (consulte la Sección

2:  $(K, r) \leftarrow G(m \parallel H(ek))$  3:  $c \leftarrow$

3.3) derivar la clave secreta compartida  $K$  y la aleatoriedad  $r$

[K-PKE.Encrypt\(ek, m, r\)](#) 4: devolver  $(K, c)$

cifrar  $m$  usando  $K$ -PKE con aleatoriedad  $r$

---

998  
999 Descripción informal. La subrutina principal de [ML-KEM.Encaps](#) es el algoritmo de cifrado de  $K$ -PKE, que se utiliza para  
1000 cifrar un valor aleatorio  $m$  en un texto cifrado  $c$ . Una copia del secreto compartido  $K$  y la aleatoriedad utilizada durante el  
1001 cifrado se derivan de  $m$  y la encapsulación.

---

<sup>1</sup>En discusiones sobre validación de entradas, la tilde en la notación indica que es posible que la entrada no esté formada correctamente, p.ej,  $eke$  para una entrada de clave de encapsulación candidata, a diferencia de  $ek$  para una entrada válida.



1002 clave  $ek$  mediante hash. Específicamente,  $H$  se aplica a  $ek$ , y el resultado se concatena con  $my$  luego se aplica un  
 1003 hash usando  $G$ . El algoritmo se completa generando el texto cifrado  $c$  y el secreto compartido  $K$ .

## 1004 6.3 Decapsulación ML-KEM

1005 El algoritmo de decapsulación [ML-KEM.Decaps](#) de ML-KEM (Algoritmo 16) acepta una clave de  
 1006 decapsulación y un texto cifrado ML-KEM como entrada, no utiliza ninguna aleatoriedad y genera un  
 1007 secreto compartido.

1008

1009 Validación de entrada. Para validar un par determinado de entradas  $ce$  (texto cifrado candidato) y  $dke$  (clave de decapsulación  
 1010 candidata) en [ML-KEM.Decaps](#), realice las siguientes comprobaciones.

1011 1. (Verificación del tipo de texto cifrado). Si  $ce$  no es una matriz de bytes de longitud  $32(duk + dv)$  para los valores de  $du$ ,  
 1012  $dv$  y  $k$  especificados por el conjunto de parámetros relevante, la entrada no es válida.

1013 2. (Verificación del tipo de clave de decapsulación). Si  $dke$  no es una matriz de bytes de longitud  $768k + 96$  para el valor  
 1014 de  $k$  especificado por el conjunto de parámetros relevante, la entrada no es válida.

1015 Si cualquiera de las comprobaciones anteriores declara que la entrada no es válida, entonces [ML-KEM.Decaps](#) no  
 1016 se realizará con la entrada  $(ce, dke)$ . En su lugar, se deben tomar medidas apropiadas para la aplicación para cancelar.  
 1017 Si ambas comprobaciones pasan (es decir, ninguna declara que la entrada no sea válida), entonces la entrada es  
 1018 se considera válido y [ML-KEM.Decaps](#) se puede realizar con la entrada  $(c, dk) = (ce, dke)$ .

1019 Para algunas aplicaciones, puede ser apropiada una validación adicional de la clave de desencapsulación  $dke$ .  
 1020 Por ejemplo, en los casos en que  $dke$  fue generado por un tercero, es posible que los usuarios quieran asegurarse  
 1021 de que los cuatro componentes de  $dke$  tengan la relación correcta entre sí, como en la línea 4 de [ML-KEM.KeyGen](#).  
 1022 En todos los casos, los implementadores validarán las entradas a [ML-KEM.Decaps](#) de una manera que sea apropiada  
 1023 para su aplicación.

1024

1025 Descripción informal. El algoritmo [ML-KEM.Decaps](#) comienza analizando los componentes de la clave de decapsulación  $dk$   
 1026 de ML-KEM. Estos componentes son un par (clave de cifrado, clave de descifrado) para K-PKE, un valor hash  $h$  y un valor  
 1027 aleatorio  $z$ . Luego, la clave de descifrado de K-PKE se usa para descifrar el texto cifrado de entrada  $c$  para obtener un texto  
 1028 sin formato  $m$ . Luego, el algoritmo de desencapsulación vuelve a cifrar  $m'$  y calcula una clave secreta compartida candidata  
 1029  $K'$  de la misma manera que se debería haber hecho en la encapsulación. Específicamente,  $K'$  y la aleatoriedad de cifrado  
 1030  $r'$  se calculan mediante el hash de  $m'$  y la clave de cifrado de K-PKE, y se genera un texto cifrado  $c'$  cifrando  $m'$ .

1031

1032 usando aleatoriedad  $r'$ . Finalmente, la decapsulación comprueba si el texto cifrado resultante  $c'$  coincide  
 1033 texto cifrado proporcionado  $c$ . Si no es así, el algoritmo realiza un "rechazo implícito": el valor de  $K'$  se cambia a un hash de  
 1034  $c$  junto con el valor aleatorio  $z$  almacenado en la clave secreta ML-KEM (consulte la discusión sobre fallas de decapsulación  
 1035 en la Sección 3.2). En cualquier caso, la decapsulación genera la clave secreta compartida resultante  $K'$   
 1036

1037

1038

Algoritmo 17 ML-KEM.Decaps(c,dk)

Utiliza la clave de decapsulación para generar una clave compartida a partir de un texto cifrado.

Entrada validada: texto cifrado c

B32(dk + dv).

validada: clave de decapsulación B32(96 dk)

Entrada .

clave compartida K B32 1:

dkPKE ← dk[0 : 384k] 2:

extraer (de la clave KEM decaps) la clave de descifrado PKE

ekPKE ← dk[384k : 768k +32] 3: h ←

extraer la clave de cifrado PKE

dk[ 768k +32 : 768k +64] 4: z ← dk[768k

extraer el hash de la clave de cifrado PKE

+64 : 768k +96] 5: m' ← K-

extraer el valor de rechazo implícito

PKE.Decrypt(dkPKE,c)

descifrar el texto cifrado

K' 6: ( ,r' ) ← GRAMO(m' h)

7: K' ← J(z c,32)

8: c' ← K-PKE.Encrypt(ekPKE,m' ,r' ) 9: si c =

volver a cifrar utilizando la aleatoriedad derivada r'

c' entonces

10: K' ← K'

si los textos cifrados no coinciden, "rechazar implícitamente"

11: terminar

si 12: devolver K'

1039

1040

## 1041 7. Conjuntos de parámetros

1042 ML-KEM está equipado con tres conjuntos de parámetros. Cada uno de los tres conjuntos de parámetros se  
 1043 compone de cinco parámetros individuales:  $k$ ,  $\eta_1$ ,  $\eta_2$ ,  $du$  y  $dv$ . También hay dos constantes:  $n = 256$  y  $q =$   
 1044 3329. La siguiente es una descripción breve e informal de los roles que desempeñan los parámetros variables  
 1045 en los algoritmos de K-PKE (y por lo tanto en ML-KEM). Consulte la Sección 5 para obtener más detalles.

- 1046 • El parámetro  $k$  determina las dimensiones de los vectores  $s$  y  $e$  en [K-PKE.KeyGen](#), así como las  
 1047 dimensiones de la matriz  $A^*$  y los vectores  $r$ ,  $e_1$  y  $e_2$  en [K-PKE.Encrypt](#).
- 1048 • El parámetro  $\eta_1$  es necesario para especificar la distribución para generar los vectores  $s$  y  $e$  en [K-PKE.KeyGen](#) y el vector  $r$  en [K-PKE.Encrypt](#).
- 1049 • El parámetro  $\eta_2$  es necesario para especificar la distribución para generar los vectores  $e_1$  y  $e_2$  en [K-PKE.Encrypt](#).
- 1050 • Los parámetros  $du$  y  $dv$  sirven como parámetros y entradas para las funciones [Comprimir](#), [Descomprimir](#),  
 1051 [ByteEncode](#) y [ByteDecode](#) en [K-PKE.Encrypt](#) y [K-PKE.Decrypt](#).

1054 Este estándar aprueba los conjuntos de parámetros que figuran en la Tabla 2. Cada conjunto de parámetros está  
 1055 asociado con una fuerza de seguridad requerida para la generación de aleatoriedad (consulte la Sección 3.3). Los  
 1056 tamaños de las claves ML-KEM y los textos cifrados para cada conjunto de parámetros se resumen en la Tabla 3.

	q	k	$\eta_1$	$\eta_2$	du	dv	fuerza RBG requerida (bits)	
ML-KEM-512	256	3329	2	3	2	10	4	128
ML-KEM-768	256	3329	3	2	2	10	4	192
ML-KEM-1024	256	3329	4	2	2	11	5	256

Tabla 2. Conjuntos de parámetros aprobados para ML-KEM

	clave de encapsulación	clave de decapsulación	texto cifrado	clave secreta compartida
ML-KEM-512	800	1632	768	32
ML-KEM-768	1184	2400	1088	32
ML-KEM-1024	1568	3168	1568	32

Tabla 3. Tamaños (en bytes) de claves y textos cifrados de ML-KEM

1057 También se puede decir que el nombre de un conjunto de parámetros denota un KEM (sin parámetros). Específicamente, ML-KEM- $x$   
 1058 se puede utilizar para indicar el KEM sin parámetros que resulta de crear una instancia del esquema ML-KEM  
 1059 con el conjunto de parámetros ML-KEM- $x$ .

1060 Los tres conjuntos de parámetros incluidos en la Tabla 2 fueron diseñados para cumplir con ciertas categorías de  
 1061 resistencia de seguridad definidas por el NIST en su convocatoria de propuestas original [4, 18]. Estas categorías de  
 1062 fortaleza de seguridad se explican con más detalle en el Apéndice A.

1063 Con este enfoque, la fortaleza de la seguridad no se describe con un solo número, como “128 bits de seguridad”. En  
 1064 cambio, se afirma que cada conjunto de parámetros ML-KEM es al menos tan seguro como un conjunto de parámetros genérico.

1065 cifrado de bloque con un tamaño de clave prescrito o una función hash genérica con una longitud de salida  
1066 prescrita. Más precisamente, se afirma que los recursos computacionales necesarios para descifrar ML-KEM  
1067 son mayores o iguales a los recursos computacionales necesarios para descifrar el cifrado de bloque o la  
1068 función hash, cuando estos recursos computacionales se estiman utilizando cualquier modelo de cálculo  
1069 realista. Los diferentes modelos de cálculo pueden ser más o menos realistas y, en consecuencia, conducir a  
1070 estimaciones más o menos precisas de la solidez de la seguridad. Algunos modelos comúnmente estudiados  
1071 se analizan en [19].

1072 Concretamente, se afirma que ML-KEM-512 está en la categoría de seguridad 1, ML-KEM-768 se afirma que  
1073 está en la categoría de seguridad 3 y ML-KEM-1024 se afirma que está en la categoría de seguridad 5. Para  
1074 una discusión adicional sobre la fortaleza de seguridad de los criptosistemas basados en MLWE, ver [4].

1075  
1076 Seleccionar un conjunto de parámetros apropiado. Al establecer inicialmente protecciones criptográficas para  
1077 los datos, se debe utilizar el conjunto de parámetros más sólido posible . Esto tiene una serie de ventajas,  
1078 incluida la reducción de la probabilidad de costosas transiciones a conjuntos de parámetros de mayor seguridad  
1079 en el futuro. Al mismo tiempo, cabe señalar que algunos conjuntos de parámetros pueden tener efectos  
1080 adversos en el rendimiento de la aplicación correspondiente (por ejemplo, el algoritmo puede ser inaceptablemente lento).

1081 NIST recomienda utilizar ML-KEM-768 como conjunto de parámetros predeterminado, ya que proporciona un gran  
1082 margen de seguridad a un costo de rendimiento razonable. En los casos en los que esto no sea práctico o cuando se  
1083 requiera una seguridad aún mayor, se pueden utilizar otros conjuntos de parámetros.

## 1084 Referencias

- 1085 [1] NIST. Publicación especial 800-227: Recomendaciones para mecanismos de encapsulación de claves,  
1086 2024.
- 1087 [2] Elaine B. Barker, Lily Chen, Allen L. Roginsky, Apostol Vassilev y Richard Davis.  
1088 Recomendación para esquemas de establecimiento de claves por pares utilizando criptografía de  
1089 logaritmos discretos . Informe técnico, publicación especial 800-56A Revisión 3, Departamento de  
1090 Comercio de EE. UU., Washington, DC, abril de 2018.
- 1091 [3] Elaine B. Barker, Lily Chen, Allen L. Roginsky, Apostol Vassilev, Richard Davis y Scott Simon.  
1092 Recomendación para el establecimiento de claves por pares utilizando criptografía de factorización de  
1093 enteros. Informe técnico, publicación especial 800-56B Revisión 2, Departamento de Comercio de EE.  
1094 UU., Washington, DC, marzo de 2019.
- 1095 [4] Robert Avanzi, Joppe Bos, Léo Ducas, Eike Kiltz, Tancrede Lepoint, Vadim Lyubashevsky,  
1096 John M. Schanck, Peter Schwabe, Gregor Seiler y Damien Stehlé. Especificaciones del  
1097 algoritmo CRYSTALS-Kyber y documentación de respaldo. Presentación de tercera ronda al  
1098 proceso de estandarización de criptografía poscuántica del NIST, 2020. [https://csrc.nist.gov/  
1099 proj ects/criptografía-post-cuántica/presentaciones-de-la-ronda-3](https://csrc.nist.gov/projects/criptografía-post-cuántica/presentaciones-de-la-ronda-3).
- 1100 [5] Equipo de presentación de CRYSTALS-Kyber. "Discusión sobre la transformación FO modificada de Kyber".  
1101 Publicación del foro en pqc-forum, disponible en [https://groups.google.com/a/list.nist.gov/g/  
1102 pqc-forum/c/WFRDI8DqYQ4](https://groups.google.com/a/list.nist.gov/g/pqc-forum/c/WFRDI8DqYQ4) , 2023.
- 1103 [6] Equipo de presentación de CRYSTALS-Kyber. "Decisiones Kyber, parte 2: Transformación FO". Publicación  
1104 del foro en pqc-forum, disponible en [https://groups.google.com/a/list.nist.gov/g/pqc-forum/c/C0D3W1KoINYM/  
1105 m/99klvydoAwAJ](https://groups.google.com/a/list.nist.gov/g/pqc-forum/c/C0D3W1KoINYM/99klvydoAwAJ), 2023.
- 1106 [7] Instituto Nacional de Normas y Tecnología. Estándar SHA-3: hash basado en permutaciones y  
1107 funciones de salida extensible. (Departamento de Comercio de EE. UU., Washington, DC),  
1108 Publicación de estándares federales de procesamiento de información (FIPS) 202, agosto de  
1109 2015. <https://doi.org/10.6028/NIST.FIPS.202>.
- 1110 [8] Joppe Bos, Léo Ducas, Eike Kiltz, T Lepoint, Vadim Lyubashevsky, John M. Schanck, Peter Schwabe,  
1111 Gregor Seiler y Damien Stehlé. CRYSTALS-Kyber: un KEM basado en celosía de módulo seguro CCA .  
1112 En 2018 Simposio Europeo IEEE sobre Seguridad y Privacidad  
1113 (EuroS&P), páginas 353–367, 2018.
- 1114 [9] Adeline Langlois y Damien Stehlé. Reducciones del peor de los casos al promedio para celosías de  
1115 módulos. Diseños, códigos y criptografía, 75(3):565–599, 2015.
- 1116 [10] Oded Regev. Sobre celosías, aprendizaje con errores, códigos lineales aleatorios y criptografía. En Actas  
1117 del trigésimo séptimo simposio anual de ACM sobre teoría de la computación, STOC '05, páginas 84–93,  
1118 Nueva York, NY, EE. UU., 2005. Asociación de Maquinaria de Computación.
- 1119 [11] Eiichiro Fujisaki y Tatsuaki Okamoto. Integración segura de asimétrico y simétrico.  
1120 esquemas de cifrado. Revista de criptología, 26:80–101, 2013.

- 1121 [12] Dennis Hofheinz, Kathrin Hövelmanns y Eike Kiltz. Un análisis modular de la transformación Fujisaki-Okamoto.  
1122 En Yael Kalai y Leonid Reyzin, editores, *Theory of Cryptography*, páginas 341–371, Cham, 2017. Springer  
1123 International Publishing.
- 1124 [13] Jonathan Katz y Yehuda Lindell. *Introducción a la criptografía moderna*. Chapman y  
1125 Salón/CRC, tercera edición, 2020.
- 1126 [14] Lirio Chen. Recomendación para la derivación de claves utilizando funciones pseudoaleatorias. (Instituto Nacional  
1127 de Estándares y Tecnología, Gaithersburg, MD), Publicación especial del NIST (SP)  
1128 800-108 Rev.1, agosto de 2022. <https://doi.org/10.6028/NIST.SP.800-108r1>.
- 1129 [15] Elaine B. Barker y John M. Kelsey. Recomendación para la generación de números aleatorios  
1130 utilizando generadores deterministas de bits aleatorios. (Instituto Nacional de Estándares y  
1131 Tecnología, Gaithersburg, MD), Publicación especial (SP) del NIST 800-90A, Rev. 1, junio de  
1132 2015. <https://doi.org/10.6028/NIST.SP.800-90Ar1>.
- 1133 [16] Meltem Sönmez Turan, Elaine B. Barker, John M. Kelsey, Kerry A. McKay, Mary L.  
1134 Baish y Mike Boyle. Recomendación para las fuentes de entropía utilizadas para la generación de bits aleatorios. (Instituto  
1135 Nacional de Estándares y Tecnología, Gaithersburg, MD), Publicación especial (SP) del NIST 800-90B, enero de 2018. <https://doi.org/10.6028/NIST.SP.800-90B>.
- 1137 [17] Elaine B. Barker, John M. Kelsey, Kerry McKay, Allen Roginsky y Meltem Sönmez Turan.  
1138 Recomendación para construcciones de generadores de bits aleatorios (RBG). (Instituto  
1139 Nacional de Estándares y Tecnología, Gaithersburg, MD), Publicación especial (SP) 800-90C  
1140 (Tercer borrador público) del NIST, septiembre de 2022. <https://csrc.nist.gov/publications/detail/sp/800-90c/borrador>.
- 1142 [18] Instituto Nacional de Normas y Tecnología. Requisitos de presentación y criterios de  
1143 evaluación para el proceso de estandarización de la criptografía poscuántica, 2016. <https://csrc.nist.gov/CSRC/media/Projects/Post-Quantum-Cryptography/documents/call-for-proposals-fnal-dec-2016.pdf>.
- 1146 [19] Gorjan Alagic, Daniel Apon, David Cooper, Quynh Dang, Thinh Dang, John Kelsey, Jacob Lichtinger, Yi-Kai Liu,  
1147 Carl Miller, Dustin Moody, René Peralta, Ray Perlner, Angela Robinson y Daniel Smith-Tone. Informe de estado  
1148 de la tercera ronda del proceso de estandarización de la criptografía poscuántica del NIST. Informe técnico  
1149 NIST Interagencial o Informe interno (IR) 8413, Instituto Nacional de Estándares y Tecnología, Gaithersburg,  
1150 MD, julio de 2022.
- 1152 [20] Samuel Jaques, Michael Naehrig, Martin Roetteler y Fernando Virdia. Implementación de oráculos Grover para  
1153 búsqueda de claves cuánticas en AES y LowMC. En Anne Canteaut y Yuval Ishai, editores, *Advances in*  
1154 *Cryptology – EUROCRYPT 2020*, páginas 280–310, Cham, 2020.  
1155 Publicaciones internacionales Springer.
- 1156 [21] Lov K. Grover. Un algoritmo rápido de mecánica cuántica para la búsqueda de bases de datos. En procedimientos  
1157 del Vigésimo Octavo Simposio Anual ACM sobre Teoría de la Computación, STOC '96, páginas 212–219, Nueva  
1158 York, NY, EE. UU., 1996. Asociación de Maquinaria de Computación.

## 1159 Apéndice A: Categorías de resistencia de la seguridad

1160 El NIST comprende que existen importantes incertidumbres al estimar las fortalezas de seguridad de los  
1161 criptosistemas poscuánticos. Estas incertidumbres provienen de dos fuentes: primero, la posibilidad de que  
1162 se descubran nuevos algoritmos cuánticos, lo que conducirá a nuevos ataques criptoanalíticos; y segundo,  
1163 nuestra capacidad limitada para predecir las características de rendimiento de las futuras computadoras  
1164 cuánticas, como su costo, velocidad y tamaño de memoria.

1165 Para abordar estas incertidumbres, el NIST propuso el siguiente enfoque en su convocatoria de  
1166 propuestas original [18]. En lugar de definir la fortaleza de un algoritmo utilizando estimaciones precisas  
1167 del número de “bits de seguridad”, el NIST definió una colección de categorías amplias de fortaleza de seguridad.  
1168 Cada categoría se define mediante una primitiva de referencia comparativamente fácil de analizar, cuya seguridad servirá como  
1169 base para una amplia variedad de métricas que el NIST considera potencialmente relevantes para la seguridad práctica. Se  
1170 puede crear una instancia de un criptosistema determinado utilizando diferentes conjuntos de parámetros para poder encajar en  
1171 diferentes categorías. Los objetivos de esta clasificación son:

- 1172 • Facilitar comparaciones significativas de rendimiento entre varios algoritmos poscuánticos garantizando, en la  
1173 medida de lo posible, que los conjuntos de parámetros que se comparan proporcionen una seguridad comparable.  
1174
- 1175 • Para permitir que NIST tome decisiones futuras prudentes sobre cuándo realizar la transición a claves más largas
- 1176 • Ayudar a los remitentes a tomar decisiones consistentes y sensatas con respecto a qué primitivas simétricas  
1177 usar en los mecanismos de relleno u otros componentes de sus esquemas que requieren criptografía simétrica.  
1178
- 1179 • Comprender mejor las compensaciones entre seguridad y rendimiento involucradas en un enfoque de diseño determinado.

1180 De acuerdo con el segundo y tercer objetivo anteriores, el NIST basó su clasificación en la gama de fortalezas de  
1181 seguridad que ofrecen los estándares existentes del NIST en criptografía simétrica, que el NIST espera que ofrezca una  
1182 resistencia significativa al criptoanálisis cuántico. En particular, NIST definió una categoría separada para cada uno de  
1183 los siguientes requisitos de seguridad (enumerados en orden creciente ):  
1184

- 1185 1. Cualquier ataque que viole la definición de seguridad relevante debe requerir recursos computacionales  
1186 comparables o mayores que los necesarios para la búsqueda de claves en un cifrado de bloque con una clave  
1187 de 128 bits (por ejemplo, AES-128).
- 1188 2. Cualquier ataque que viole la definición de seguridad relevante debe requerir recursos computacionales  
1189 comparables o mayores que los necesarios para la búsqueda de colisiones en una función hash de 256 bits (por  
1190 ejemplo, SHA-256/SHA3-256).
- 1191 3. Cualquier ataque que viole la definición de seguridad relevante debe requerir recursos computacionales  
1192 comparables o mayores que los necesarios para la búsqueda de claves en un cifrado de bloque con una clave  
1193 de 192 bits (por ejemplo, AES-192).
- 1194 4. Cualquier ataque que viole la definición de seguridad relevante debe requerir recursos computacionales  
1195 comparables o mayores que los necesarios para la búsqueda de colisiones en una función hash de 384 bits (por  
1196 ejemplo, SHA-384/SHA3-384).
- 1197 5. Cualquier ataque que rompa la definición de seguridad relevante debe requerir recursos computacionales

1198 comparables o superiores a los necesarios para la búsqueda de claves en un cifrado de bloque con una clave de 256  
1199 bits (por ejemplo, AES-256).

Tabla 4. Categorías de fortaleza de seguridad del NIST

Categoría de seguridad	Tipo de ataque correspondiente	Ejemplo
1	Búsqueda de claves en cifrado de bloques con clave de 128 bits	AES-128
2	Búsqueda de colisiones en función hash de 256 bits	SHA3-256
3	Búsqueda de claves en cifrado de bloques con clave de 192 bits	AES-192
4	Búsqueda de colisiones en función hash de 384 bits	SHA3-384
5	Búsqueda de claves en cifrado de bloques con clave de 256 bits	AES-256

1200 Aquí, los recursos computacionales se pueden medir usando una variedad de métricas diferentes (por ejemplo, número de  
1201 operaciones elementales clásicas, tamaño del circuito cuántico). Para que un criptosistema satisfaga uno de los requisitos de  
1202 seguridad anteriores, cualquier ataque debe requerir recursos computacionales comparables o superiores al umbral establecido,  
1203 con respecto a todas las métricas que el NIST considera potencialmente relevantes para la seguridad práctica.  
1204

1205 El NIST tiene la intención de considerar una variedad de métricas posibles, que reflejan diferentes  
1206 predicciones sobre el desarrollo futuro de la tecnología de computación cuántica y clásica, y el costo de  
1207 diferentes recursos informáticos (como el costo de acceder a cantidades extremadamente grandes de  
1208 memoria).<sup>2</sup> El NIST también considerará aportes de la comunidad criptográfica con respecto a esta pregunta.

1209 En una métrica de ejemplo proporcionada a los remitentes, el NIST sugirió un enfoque en el que los ataques  
1210 cuánticos se restringen a un tiempo de ejecución fijo o a una profundidad del circuito. Llame a este parámetro  
1211 MAXDEPTH. Esta restricción está motivada por la dificultad de ejecutar cálculos en serie extremadamente  
1212 largos. Los valores plausibles para MAXDEPTH varían desde 240 puertas lógicas (el número aproximado de  
1213 puertas que actualmente se espera que las arquitecturas de computación cuántica funcionen en serie en un  
1214 año) hasta 264 puertas lógicas (el número aproximado de puertas que las arquitecturas de computación  
1215 clásicas actuales pueden ejecutar en serie en un año). década), a no más de 296 puertas lógicas (el número  
1216 aproximado de puertas que los qubits de escala atómica con tiempos de propagación de la luz podrían realizar  
1217 en un milenio). La versión más básica de esta métrica de costos ignora los costos asociados con los bits o  
1218 qubits que se mueven físicamente para que estén físicamente lo suficientemente cerca como para realizar  
1219 operaciones de puerta. Esta simplificación puede resultar en una subestimación del costo de implementar  
1220 cálculos con uso intensivo de memoria en hardware real.

1221 La complejidad de los ataques cuánticos puede medirse entonces en términos del tamaño del circuito. Estos números se  
1222 pueden comparar con los recursos necesarios para romper AES y SHA-3. Durante el proceso de estandarización poscuántica ,  
1223 NIST proporcionó las siguientes estimaciones para los recuentos de puertas clásicas y cuánticas<sup>3</sup> para la recuperación de  
1224 claves óptima y los ataques de colisión en AES y SHA-3, respectivamente, donde

<sup>2</sup> Véase la discusión en [19, Apéndice B].

<sup>3</sup> Los tamaños de los circuitos cuánticos se basan en el trabajo de [20].



1225 la profundidad del circuito está limitada a MAXDEPTH<sup>4</sup>.

Tabla 5. Estimaciones de recuentos de puertas clásicas y cuánticas para la recuperación óptima de claves y ataques de colisión en AES y SHA-3

Puertas cuánticas AES-128 2157/MAXDEPTH o puertas clásicas 2143
SHA3-256 2146 puertas clásicas
Puertas cuánticas AES-192 2221/MAXDEPTH o puertas clásicas 2207
SHA3-384 2210 puertas clásicas
Puertas cuánticas AES-256 2285/MAXDEPTH o 2272 puertas clásicas
SHA3-512 2274 puertas clásicas

1226 Vale la pena señalar que las categorías de seguridad basadas en estas primitivas de referencia proporcionan sustancialmente  
 1227 más seguridad cuántica de lo que podría sugerir un análisis ingenuo. Por ejemplo, las categorías 1, 3 y 5 se definen en  
 1228 términos de cifrados en bloque, que pueden descifrarse utilizando el algoritmo de Grover [21], con una aceleración cuántica  
 1229 cuadrática. Sin embargo, el algoritmo de Grover requiere un cálculo en serie de larga duración, lo cual es difícil de  
 1230 implementar en la práctica. En un ataque realista, hay que ejecutar muchas instancias más pequeñas del algoritmo en  
 1231 paralelo, lo que hace que la aceleración cuántica sea menos dramática.

1232 Finalmente, para los ataques que utilizan una combinación de computación clásica y cuántica, se puede  
 1233 utilizar una métrica de costos que califique las puertas cuánticas lógicas como varios órdenes de magnitud  
 1234 más caras que las puertas clásicas. Las arquitecturas de computación cuántica imaginadas actualmente  
 1235 suelen indicar que el costo por puerta cuántica podría ser miles de millones o billones de veces el costo por  
 1236 puerta clásica. Sin embargo, especialmente cuando se consideran algoritmos que afirman tener una alta  
 1237 seguridad (por ejemplo, equivalente a AES-256 o SHA-384), probablemente sea prudente considerar la  
 1238 posibilidad de que esta disparidad se reduzca significativamente o incluso se elimine.

<sup>4</sup>El NIST cree que las estimaciones anteriores son precisas para la mayoría de los valores de MAXDEPTH que son relevantes para su análisis de seguridad, pero las estimaciones anteriores pueden subestimar la seguridad de SHA para valores muy pequeños de MAXDEPTH y pueden subestimar la seguridad cuántica de AES para valores muy grandes de MAXDEPTH.